

Notes from a course on Quantum Mechanics given  
by Feynman in Brasil

Daniele Amati  
SISSA-ISAS  
Via Bonomea 265  
I-34136 Trieste, Italy

Alberto Sirlin  
Department of Physics, New York University  
4 Washington Place, New York, NY 10003 USA

### Abstract

The article presents copies of the notes taken by the authors during a course on Quantum Mechanics given by Feynman in Brasil in 1953. They provide an interesting testimony to Feynman's approach in the teaching of non-relativistic Quantum Mechanics, which emphasized the path-integral formulation and, at the time, was very original and unconventional. A brief description of the course, as well as recollections of several meetings and exchanges the authors had with Feynman over nearly three decades, in both the U.S. and Europe, can be found in Ref.[1].

Cálculo de amplitudes de probabilidad

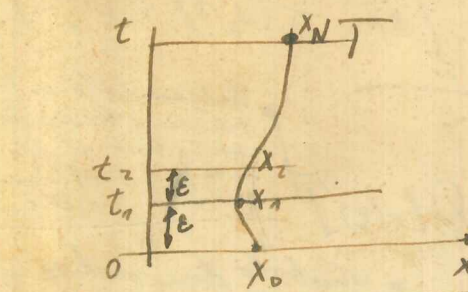
Partícula libre en una dimensión. Calcular la amplitud total de probabilidad para  $x_1, t_1 \rightarrow x_2, t_2$ . ( $t_2 > t_1$ )

$$L = \frac{m\dot{x}^2}{2}$$

1º método: Directamente

$$K(x_N, T; x_0, 0) = \lim_{\epsilon \rightarrow 0} \int_{-\infty}^{+\infty} \cdots \int_{-\infty}^{+\infty} e^{\frac{i}{\hbar} \sum_{i=0}^{N-1} S(x_{i+1}, t_{i+1}; x_i, t_i)} \frac{dx_1}{A} \cdots \frac{dx_{N-1}}{A} \frac{dt_N}{A}$$

$\begin{cases} x \\ t \end{cases} = \begin{cases} x_2, t_2 \\ x_1, t_1 \end{cases}$



$$\text{Pero } S(x_{i+1}, t_{i+1}; x_i, t_i) = \frac{m}{2} \int_{t_i}^{t_{i+1}} \dot{x}^2 dt = \frac{m}{2} \left( \frac{x_{i+1} - x_i}{\epsilon} \right)^2 \epsilon = \frac{m}{2\epsilon} (x_{i+1} - x_i)^2$$

Luego

$$K(x_N, T; x_0, 0) = \lim_{\epsilon \rightarrow 0} \int_{-\infty}^{+\infty} \cdots \int_{-\infty}^{+\infty} e^{\frac{i}{\hbar} \frac{m}{2\epsilon} [(x_1 - x_0)^2 + (x_2 - x_1)^2 + \dots + (x_N - x_{N-1})^2]} \frac{dx_1}{A} \frac{dx_2}{A} \cdots \frac{dx_{N-1}}{A}$$

Llamando  $\alpha = \frac{im}{2\hbar\epsilon}$ , las integraciones sucesivas dan (fórmula I de la tabla):

$$\int_{-\infty}^{+\infty} e^{\alpha[(x_1 - x_0)^2 + (x_2 - x_1)^2]} dx_1 = \sqrt{-\frac{\pi}{\alpha + \frac{1}{2}}} e^{-\frac{\alpha}{2}(x_0 - x_2)^2} \propto (x_0 - x_2)^2$$

$$\int_{-\infty}^{+\infty} e^{\alpha[(x_2 - x_0)^2 + (x_3 - x_2)^2]} dx_2 = \sqrt{-\frac{\pi}{\alpha + \frac{3}{2}}} e^{-\frac{\alpha}{4}(x_0 - x_3)^2} \propto (x_0 - x_3)^2$$

$$\int_{-\infty}^{+\infty} e^{\alpha[(x_3 - x_0)^2 + (x_4 - x_3)^2]} dx_3 = \sqrt{-\frac{\pi}{\alpha + \frac{5}{2}}} e^{-\frac{\alpha}{6}(x_0 - x_4)^2} \propto (x_0 - x_4)^2$$

$$\int_{-\infty}^{+\infty} e^{\alpha[(x_4 - x_0)^2 + (x_5 - x_4)^2]} dx_4 = \sqrt{-\frac{\pi}{\alpha + \frac{7}{2}}} e^{-\frac{\alpha}{8}(x_0 - x_5)^2} \propto (x_0 - x_5)^2$$

$$\int_{-\infty}^{+\infty} e^{\alpha[\frac{N-1}{N-1}(x_0 - x_{N-1})^2 + (x_N - x_{N-1})^2]} dx_{N-1} = \sqrt{-\frac{\pi}{\alpha + \frac{N-1}{2}}} e^{-\frac{\alpha}{N}(x_0 - x_N)^2} \propto (x_0 - x_N)^2$$

El producto de las integrales da, por tanto:

$$K(x_N, T; x_0, 0) = \frac{1}{A^N} \sqrt{-\frac{\pi}{2}} \sqrt{-\frac{\pi}{\alpha + \frac{1}{2}}} \sqrt{-\frac{\pi}{\alpha + \frac{3}{2}}} \sqrt{-\frac{\pi}{\alpha + \frac{5}{2}}} \cdots \sqrt{-\frac{\pi}{\alpha + \frac{N-1}{2}}} e^{-\frac{\alpha}{N}(x_0 - x_N)^2}$$

$$= \frac{1}{A^N} \sqrt{-\frac{\pi}{\alpha}}^{N-1} \sqrt{\frac{1}{2}} \sqrt{\frac{2}{3}} \sqrt{\frac{3}{4}} \dots \sqrt{\frac{N-1}{N}} e^{\frac{\alpha}{N}(x_0 - x_N)^2}$$

$$\sqrt{-\frac{\pi}{\alpha}}^{N-1} \sqrt{\frac{1}{N}} e^{\frac{\alpha}{N}(x_0 - x_N)^2} = \left( \frac{1}{A} \sqrt{-\frac{\pi}{\alpha}} \right)^N \sqrt{-\frac{\pi}{\alpha}} \sqrt{\frac{1}{N}} e^{\frac{\alpha}{N}(x_0 - x_N)^2}$$

con  $\omega = \frac{i m}{2 \pi \hbar E}$

$$K = \left( \frac{1}{A} \sqrt{-\frac{2 \pi \hbar E}{i m}} \right)^N \sqrt{-\frac{i m}{2 \pi \hbar E N}} e^{\frac{i m}{2 \pi \hbar E N}(x_0 - x_N)^2}$$

Formamos, por conveniencia,

$$A = \sqrt{-\frac{2 \pi \hbar E}{i m}} = \sqrt{\frac{i \hbar E}{m}}$$

Quedó:  $K = \sqrt{-\frac{i m}{2 \pi \hbar T}} e^{\frac{i m}{2 \pi \hbar T}(x_0 - x_N)^2}$

La elección hecha para  $A$  es para que el límite tenga sentido (cuando  $E \rightarrow 0, N \rightarrow \infty$ ) y para que valga la expresión  $K(3,1) = \int dx_2 K(2,1) K(3,2)$

2º Método (más conveniente).  $L = \frac{m \dot{x}^2}{2}$

$$K = \int e^{\frac{i m}{2} \int_{t_1}^{t_2} \dot{x}^2 dt} D[x(t)]$$

traj.  $x_1, t_1$   
 $x_2, t_2$

Este símbolo es una manecilla abreviada de escribir el límite de la pag. anterior, puesto que el símbolo  $\int$  lo simboliza que indica que la integración es sobre todas las trayectorias.

Hacemos:

$x(t) = \bar{x}(t) + j(t)$  donde  $\bar{x}(t)$  es la trayectoria clásica desde  $x_1, t_1$  a  $x_2, t_2$ , pues en los puntos  $x(t)$  coincide con la trayectoria clásica  $\bar{x}(t)$ .

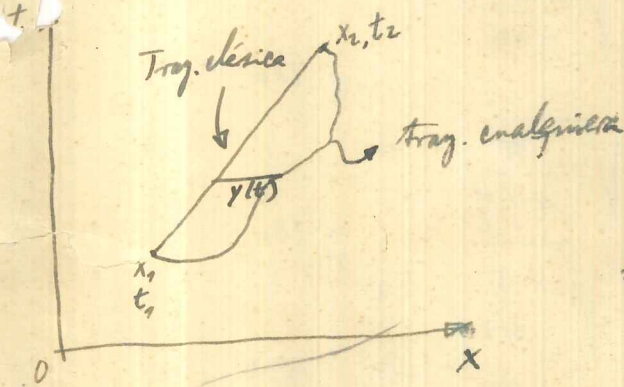
En nuestro caso del choque libre tenemos:  $\ddot{x} = 0$

$$\dot{\bar{x}} = \frac{x_2 - x_1}{t_2 - t_1}; \bar{x} = x_1 + \frac{x_2 - x_1}{t_2 - t_1} (t - t_1)$$

$$j = \dot{\bar{x}} + \ddot{j}$$

$$K = \int e^{\frac{i m}{2 \hbar} \int_{t_1}^{t_2} (\dot{\bar{x}} + \ddot{j})^2 dt} D[j(t)]$$

$j = 0$  en  $t_1$   
 $j = 0$  en  $t_2$



$$\int_{t_1}^{t_2} (\dot{\bar{x}} + \ddot{j})^2 dt = \int_{t_1}^{t_2} \dot{\bar{x}}^2 dt + \int_{t_1}^{t_2} 2 \dot{\bar{x}} \ddot{j} dt + \int_{t_1}^{t_2} \ddot{j}^2 dt$$

Pero  $\int_{t_1}^{t_2} \dot{\bar{x}} \ddot{j} dt = \dot{\bar{x}} \int_{t_1}^{t_2} j dt - \int_{t_1}^{t_2} \dot{\bar{x}} j dt$ ,  $\because$   $\ddot{\bar{x}} = 0$  por ser la traz. clás.

pero porque

$j \neq 0$  en lo lím.

ver directamente pues siendo ese término lineal el de la primera variación de S a lo largo de  $j$  ( $S = \int L dt$ ).

Efectivamente:

$$S = \frac{m}{2} \int_{t_1}^{t_2} \dot{x}^2 dt ; \quad S_{\text{dis}} = m \int_{t_1}^{t_2} \dot{x} j dt = 0$$

$$\dot{\bar{x}} = \frac{x_2 - x_1}{t_2 - t_1}, \quad (\dot{\bar{x}})^2 = \frac{(x_2 - x_1)^2}{(t_2 - t_1)^2} = \text{cte}$$

$$\int_{t_1}^{t_2} (\dot{\bar{x}})^2 dt = \frac{(x_2 - x_1)^2}{(t_2 - t_1)^2} (t_2 - t_1) = \frac{(x_2 - x_1)^2}{(t_2 - t_1)}$$

Luego:

$$K = \int e^{\frac{i m}{2 h} \int_{t_1}^{t_2} (\dot{\bar{x}})^2 dt} e^{\frac{i m}{2 h} \int_{t_1}^{t_2} j^2 dt} = e^{\frac{i}{h} \frac{m}{2} \frac{(x_2 - x_1)^2}{t_2 - t_1} \int_{t_1}^{t_2} j^2 dt} D[j(t)]$$

todos

traj. 1 → 2

traj.  
 $j=0$  en  $t_1$   
 $j=0$  en  $t_2$

Esta integral es independiente de los puntos extremos  $x_2$  y  $x_1$ . Es una integral en  $j(t)$ , función que varía de 0 en  $t_1$ , a 0 en  $t_2$ . Luego es función sólo de  $t_1$  y  $t_2$ . Luego:

$$K(2,1) = F(t_1, t_2) e^{\frac{i m}{2 h} \frac{(x_2 - x_1)^2}{t_2 - t_1}} \quad \delta \quad K(t_2, 1) = F(t_1, t_2) e^{\frac{i S}{h} d}$$

Esta función  $F(t_1, t_2)$  tiene que depender sólo del intervalo de tiempo  $T = t_2 - t_1$ , y no de los tiempos absolutos  $t_1$  ó  $t_2$ . Luego  $F = d(t_2 - t_1)$ .

Veamos cómo determinar esa función  $d$ .

Por el principio de combinación de amplitudes:

$$K(2,1) = \int_{-\infty}^{+\infty} K(2,3) K(3,1) dx_3 ;$$

$$d(t_2 - t_1) e^{\frac{i m}{2 h} \frac{(x_2 - x_1)^2}{t_2 - t_1}} = \int_{-\infty}^{+\infty} dx_3 d(t_3 - t_1) d(t_2 - t_3) e^{\frac{i m}{2 h} \frac{(x_3 - x_1)^2}{t_3 - t_1} + \frac{i m}{2 h} \frac{(x_2 - x_3)^2}{t_2 - t_3}}$$

$$d(t_3 - t_1) d(t_2 - t_3) \int_{-\infty}^{+\infty} e^{\frac{-i m}{2 h} \frac{(x_3 - x_1)^2 + (x_2 - x_3)^2}{t_3 - t_1}} dx_3 =$$

$$d(t_3 - t_1) d(t_2 - t_3) \sqrt{\frac{-\pi i}{d_1 + d_2}} e^{\frac{d_1 d_2}{2(d_1 + d_2)} \frac{(x_2 - x_1)^2}{t_3 - t_1}} \text{ usando } \begin{cases} d_1 = \frac{i m}{2 h (t_3 - t_1)} \\ d_2 = \frac{i m}{2 h (t_2 - t_3)} \end{cases}$$

$$= d(t_3 - t_1) d(t_2 - t_3) e^{\frac{i m}{2 h} \frac{(x_2 - x_1)^2}{t_2 - t_1}} \sqrt{\frac{2\pi i h}{m} \frac{1}{\frac{1}{t_3 - t_1} + \frac{1}{t_2 - t_3}}}$$

Luego:

$$d(t_2 - t_1) = d(t_3 - t_1) d(t_2 - t_3) \sqrt{\frac{2\pi i h}{m} \frac{(t_2 - t_3)(t_3 - t_1)}{(t_2 - t_1)}}$$

Hagamos la sustitución:

$$d(t_2 - t_1) = \sqrt{\frac{m}{2\pi i h}} \frac{1}{\sqrt{t_2 - t_1}} C(t_2 - t_1)$$

$$d(t_3 - t_1) = \sqrt{\frac{m}{2\pi i h}} \frac{1}{\sqrt{t_3 - t_1}} C(t_3 - t_1)$$

$$d(t_2 - t_3) = \sqrt{\frac{m}{2\pi i h}} \frac{1}{\sqrt{t_2 - t_3}} C(t_2 - t_3)$$

Obtenemos sustituyendo:

$$c(t_2 - t_1) = c(t_3 - t_1)c(t_2 - t_3) \text{ ó } c[(t_2 - t_3) + (t_3 - t_1)] = c(t_2 - t_3)c(t_3 - t_1)$$

La única función que satisface es  $(d(a+b) = d(a) + d(b))$  es la exponencial. Luego:

$$c(t_2 - t_1) = e^{k(t_2 - t_1)}; \quad c(T) = e^{kT}; \quad k \text{ es cualquiera.}$$

Escogamos  $k=0$  (esta elección más simple). Luego:

$$c=1; \quad \boxed{d(T) = \sqrt{\frac{m}{2\pi i \hbar T}}} \quad \boxed{k = \sqrt{\frac{m}{2\pi i \hbar T}} e^{\frac{i m}{2\hbar} \frac{(x_2 - x_1)^2}{T}}}$$

concordante con el obtenido por el primer método.

Puede verse que  $\operatorname{Re}(R)$  puede ser escogida igual a 0 y la parte imaginaria sería de nivel 0 de energía. Elegiremos entonces  $R=0$  cosa que no quita generalidad.

### Problemas

) Si  $L = \frac{m}{2}(\dot{x}^2 - w^2 x^2)$  mostrar que usando el mismo método anterior (siendo  $\ddot{x} = -w^2 x$ ) que  $K(x_2, t_2; x_1, t_1) = \sqrt{\frac{m w}{2\pi i \hbar m w T}} e^{\frac{i S}{\hbar} \operatorname{cl}(x_2, t_2, x_1, t_1)}$

) Si  $L$  es una forma cuadrática de las coordenadas y velocidades conteniendo también términos lineales, o sea

$L = \alpha(t)\dot{x}^2 + \beta(t)\dot{x}\dot{x} + \gamma(t)x^2 + A(t)\dot{x} + B(t)x + C(t)$ , mostrar que  $K = F(t_2, t_1) e^{\frac{i S}{\hbar} \operatorname{cl}}$

) Mostrar, en el caso de una partícula libre en 3 dimensiones que  $K(\vec{r}_2, t_2; \vec{r}_1, t_1) = \left(\frac{2\pi i \hbar (t_2 - t_1)}{m}\right)^{\frac{3}{2}} e^{\frac{i m}{2\hbar} \frac{(\vec{r}_2 - \vec{r}_1)^2}{t_2 - t_1}}$

Nota: Este método para determinación de amplitudes de probabilidad, esto es, obtención de una expresión de la forma

$K(2,1) = F(t_2 - t_1) e^{\frac{i}{\hbar} S \operatorname{cl}(2,1)}$  y posterior determinación de la función  $F(T)$  usando el principio de combinación de amplitudes es aplicable siempre que la Lagrangiana tenga una forma cuadrática, como que mostrado. Es, por lo tanto, aplicable en los siguientes casos:

1. Partícula en un campo de fuerza constante en el espacio y en el tiempo.

$$L = \frac{1}{2} m(\vec{x})^2 - \vec{F} \cdot \vec{x}$$

2. Oscilador armónico sujeto a una fuerza constante en el espacio.

$$L = \frac{m}{2} (\vec{x}^2 - \omega^2 \vec{x}^2) - \vec{F}(t) \cdot \vec{x}$$

3. Partícula cargada colocada en un campo magnético constante:

$$L = \frac{m}{2} \vec{x}^2 + \frac{e}{2a} \vec{x} \cdot (\vec{h} \times \vec{x})$$

4. Partícula en un campo de fuerza constante en el espacio, pero variable en el tiempo.

$$L = \frac{1}{2} m(\vec{x})^2 - \vec{F}(t) \cdot \vec{x}$$

### Aproximación semi-clásica

Para valores de la acción  $S$  muy grandes con respecto a  $\hbar$ , sólo desvíos muy pequeños con respecto a la trayectoria clásica tienen importancia, pues fuera de esa región la fase varía muy rápidamente y la interferencia destruye las posibilidades de realizar la trayectoria. Haciendo la sustitución  $x = \bar{x} + y$ :

$$S[x(t)] = S[\bar{x} + y] = \int_{t_1}^{t_2} L(\bar{x} + y, \dot{\bar{x}} + \dot{y}, t) dt = \\ \int_{t_1}^{t_2} L(\bar{x}, \dot{\bar{x}}, t) dt + \int_{t_1}^{t_2} \left( \frac{\partial L}{\partial \bar{x}} y + \frac{\partial L}{\partial \dot{\bar{x}}} \dot{y} \right) dt + \frac{1}{2!} \int_{t_1}^{t_2} \left( \frac{\partial^2 L}{\partial \bar{x}^2} y^2 + 2 \frac{\partial^2 L}{\partial \bar{x} \partial \dot{\bar{x}}} y \dot{y} + \frac{\partial^2 L}{\partial \dot{\bar{x}}^2} \dot{y}^2 \right) dt + \dots$$

El término de primer grado en  $y$  es 0 por ser  $S$  un valor extremal. En efecto, por integración por partes, puede verse que el integrando contiene como factor el primer miembro de las ecuaciones de Lagrange  $(\frac{\partial L}{\partial \bar{x}} - \frac{d}{dt} \frac{\partial L}{\partial \dot{\bar{x}}} = 0)$  y por tanto es 0. El término de orden 0 es  $S$ .

Llamemos  $O(y^2)$  al término de segundo grado.

La amplitud de probabilidad queda:

$$K(2,1) = \int_{\substack{\text{Toda} \\ \text{tray. } 1 \rightarrow 2}} e^{\frac{i}{\hbar} S} D[x(t)] = \int_{\substack{\text{ent. } y=0 \\ \text{en } t_1, \text{ ent. } t_2}} e^{\frac{i}{\hbar} [S + O(y^2) + \dots]} D[y(t)]$$

En una aproximación semicásica podemos suponer que los términos cuyo grado en  $y$  es superior al segundo son despreciables.

Queda:  $K(2,1) = e^{\frac{i}{\hbar} S} \int_{\substack{y=0 \\ \text{en } t_1, t_2}} e^{\frac{i}{\hbar} O(y^2)} D[y(t)]$ ; En general este integral sea una función de  $\bar{x}(t)$ , como se puede ver mirando el significado de  $O(y^2)$ . Desde nuestro

punto de vista  $\bar{x}(t)$  es en último caso una función de  $y^2$ , es decir de  $x_1, x_2, t_1, t_2$ . Luego:  $K(2,1) = F(x_1, x_2, t_1, t_2) e^{\frac{i}{\hbar} S}$  en la aproximación semicásica en que  $y$  es muy pequeño el término  $O(y^2)$  es tb. muy pequeño,  $F(x_1, x_2, t_1, t_2)$  es una función smooth (muy suave).

Problema. Son emitidas partículas <sup>libres</sup> desde un punto con impulsos diversos, con distribución uniforme (la probabilidad de que una partícula tenga impulsos entre  $p$  y  $p+dp$  es  $dp$  — probabilidad proporcional al intervalo, constante de proporción. igual a 1). Con un tiempo  $T$  cualquiera habrá una distribución de partículas en el espacio con densidad  $\rho$ . Mostrar que la amplitud de probabilidad  $K(x, T)$  es de la forma:

$$K(x, T) = \rho^{\frac{n}{2}} \cdot (2\pi i \hbar)^{-\frac{n}{2}} e^{\frac{m}{2} \frac{x^2}{T}} \text{ Sel}$$

siendo  $n$  el número de grados de libertad de la partícula.

Habremos obtenido:  $K(x, T) = \sqrt{\frac{m}{2\pi i \hbar T}}^n e^{\frac{m}{2} \frac{x^2}{T}} \text{ Sel}$

Las partículas que al fin de un tiempo  $T$  están entre  $x$  y  $x+dx$  son aquéllas que tienen velocidad entre  $\frac{x}{T}$  y  $\frac{x+dx}{T}$ , luego impulsos entre  $\frac{m x}{T}$  y  $\frac{m}{T}(x+dx)$ ; su número es entonces:

$$dp_x = \frac{m dx}{T}. Al \ fin \ de \ un \ tiempo \ T \ tenemos \ entre$$

$x, y, z, \dots$   $\frac{x}{T}, \frac{y}{T}, \frac{z}{T}, \dots$   $\frac{y}{T} + dz, \frac{z}{T} + dz, \dots$  un número de partículas dado por  $dp_x dp_y dp_z \dots = \left(\frac{m}{T}\right)^n dx dy dz \dots = \left(\frac{m}{T}\right)^n dr$

El número por unidad de volumen es entonces:

$$\rho = \frac{dp_x dp_y dp_z \dots}{dr} = \left(\frac{m}{T}\right)^n$$

$$\text{Luego } K = \left(\frac{m}{T}\right)^{\frac{n}{2}} (2\pi i \hbar)^{-\frac{n}{2}} e^{\frac{m}{2} \frac{x^2}{T}} \text{ Sel} = \boxed{\rho^{\frac{n}{2}} (2\pi i \hbar)^{-\frac{n}{2}} e^{\frac{m}{2} \frac{x^2}{T}} \text{ Sel} = K}$$

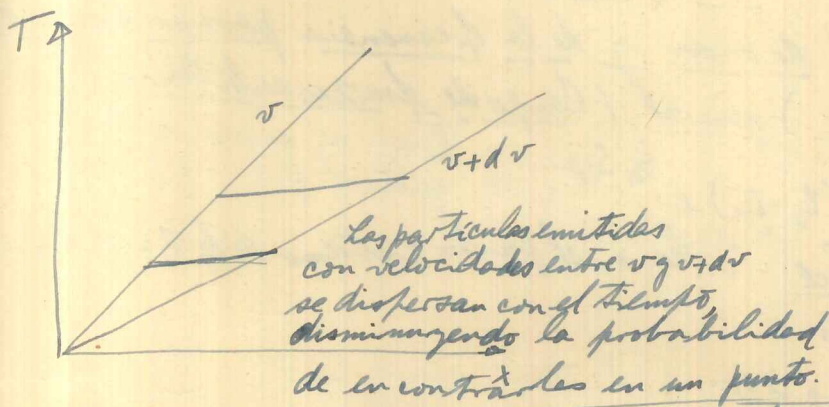
Discusión del valor de la amplitud total de probabilidad para un corpúsculo libre en una dimensión.

$$K(x, t; 0, 0) = \left( \frac{m}{2\pi\hbar T} \right)^{1/2} e^{-\frac{imx^2}{2\hbar T}} \quad (\text{depende sólo del intervalo de tiempo y de la distancia entre la posición final y la original})$$

La probabilidad para que una partícula estando en el punto  $x=0$  para  $t=0$ , sea encontrada en el punto  $x$  para el tiempo  $T$  es:

$$P = |\text{amp.}|^2 = \frac{m}{2\pi\hbar T}$$

La probabilidad es independiente de la posición del punto  $x$ ; depende sólo del tiempo, ~~se~~ variando como  $\frac{1}{T}$ .



Al tiempo  $T=0$  (instante en que la partícula es abandonada en el origen) sabemos con precisión que la partícula está en el origen. A un instante  $T$  muy pequeño, la probabilidad de que la partícula se encuentre

en un punto cualquiera  $x$ , es independiente de  $x$ . Esto quiere decir que la partícula puede tener cualquier velocidad, al instante  $T=0$ , lo que está de acuerdo con el principio de indeterminación de Heisenberg.

Principio de indeterminación Tomemos, por ejemplo, la parte real de

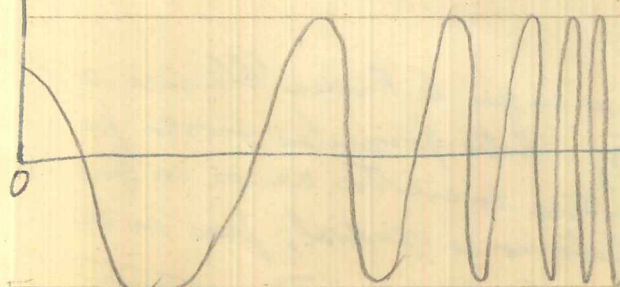
$$K = \left( \frac{m}{2\pi\hbar T} \right)^{1/2} e^{-\frac{imx^2}{2\hbar T}}$$

y veamos cómo varía con  $x$  y con  $T$ .

$$\text{Real}(K) = \frac{1}{\sqrt{2}} \sqrt{\frac{m}{2\hbar T}} \left[ \cos \frac{mx^2}{2\hbar T} + \sin \frac{mx^2}{2\hbar T} \right] = \sqrt{\frac{m}{2\hbar T}} \cos \left[ \frac{mx^2}{2\hbar T} + \frac{\pi}{4} \right]$$

$$\frac{1}{\sqrt{i}} = \sqrt{-i} = \frac{1-i}{\sqrt{2}}$$

$\text{Re}(K)$  Variación con  $x$  ( $T=\text{cte}$ )



Siendo  $\lambda$  la longitud de onda:

$$\frac{m}{2\hbar T} (x+\lambda)^2 = \frac{m}{2\hbar T} x^2 + 2\pi$$

$$\frac{m x \lambda}{2\hbar T} + \frac{m \lambda^2}{2\hbar T} = 2\pi \dots$$

despejando

$$x = \frac{\lambda}{2\pi} - \frac{\hbar}{m} \frac{x}{T};$$

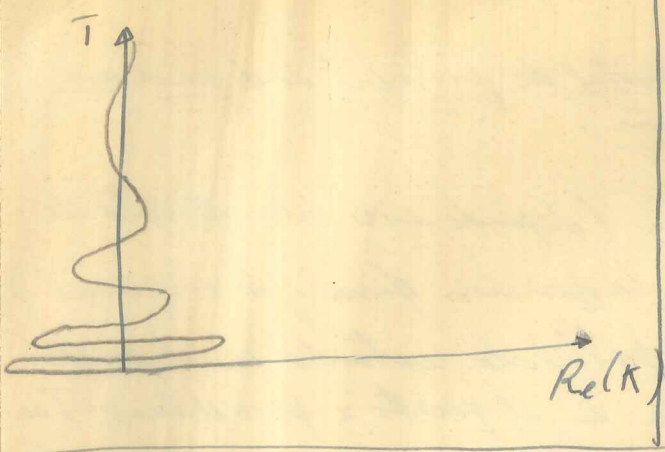
$\frac{x}{T}$  = velocidad clásica del corpúsculo libre.

Fórmula de de Broglie.

$$\frac{mx}{T} = \text{veloc. clásica del corpúsculo libre.}$$

$$\boxed{\frac{1}{2\pi} = \lambda = \frac{\hbar}{\text{Pcl.}}}$$

Variación con T : ( $x = \text{cte}$ )



Siendo T el período :

$$-\frac{mx^2}{2\hbar(T+6)} + \frac{mx^2}{2\hbar T} = 2\pi \dots$$

$$6\left(1 - \frac{2\hbar 2\pi T}{mx^2}\right) = \frac{2\hbar 2\pi T^2}{mx^2}$$

lo despreciable

$$6 = \frac{2\pi\hbar}{\frac{1}{2} \frac{mx^2}{T^2}} = \frac{2\pi\hbar}{\frac{1}{2} m v_{cl}^2} = \frac{2\pi\hbar}{E_c}$$

$E_c$  = energía cinética = energía total del corpusculo libre.

$$6 = \frac{2\pi}{w} ; \quad \frac{1}{w} = \frac{\hbar}{E} \quad \therefore \boxed{E = \hbar w}$$

$w = \frac{mx^2}{2\hbar} \frac{1}{T^2}$  : la frecuencia disminuye al aumentar T.

Cálculos de la longitud de onda y de la frecuencia para un caso clásico (S muy grande) general. (Caso de fuerzas arbitrario)

Tenemos:  $K = F(t_2 - t_1) e^{i\hbar S_{cl}}$  Proy. en un eje  $\Rightarrow$  general  $F(t_2 - t_1) = 1$

El factor de fase es  $\frac{S_{cl}}{\hbar}$ . Sea  $x_2$  el punto extremo de la trayectoria

$$\frac{S_{cl}(x_2+d)}{\hbar} = \frac{S_{cl}(x_2)}{\hbar} + 2\pi$$

Suponiendo que S varie lentamente (lo que es verdad en las proximidades de la trayectoria clásica):  $S_{cl} \gg \frac{\partial S_{cl}}{\partial x_2} d$ . Debido a la lenta variabilidad de  $S_{cl}(x_2)$ , despreciaremos los términos que contienen derivadas segundas y superiores.

$$\frac{S_{cl}(x_2)}{\hbar} + \frac{\frac{\partial S_{cl}}{\partial x_2} d}{\hbar} = \frac{S_{cl}(x_2)}{\hbar} + 2\pi ; \quad \text{como } \frac{\partial S}{\partial x_2} = p_{x_2} = p :$$

$$\frac{pd}{\hbar} = 2\pi \quad \therefore \quad \boxed{d = \frac{\lambda}{2\pi}} \quad \boxed{\lambda = \frac{\hbar}{p}}$$

Para  $S_{cl} > \frac{\partial S}{\partial t} \frac{1}{f}$   $f$  = frecuencia :

$$\frac{S_{cl}}{\hbar} + \frac{\frac{\partial S_{cl}}{\partial t} \frac{1}{f}}{\hbar} = \frac{S_{cl}}{\hbar} - 2\pi ; \quad -\frac{E_{cl} \frac{1}{f}}{\hbar} = -2\pi \text{ pues } \frac{\partial S_{cl}}{\partial t} = -E_{cl}$$

$$\therefore \boxed{E_{cl} = \hbar w}$$

Decimos entonces que en cualquier sistema en que la Física Clásica debe valer debemos tener  $E = \hbar w$  o  $p = \hbar f$ . Estas fórmulas sirven para definir energía e impulso en Mec. Cuántica en ciertos casos en que no hay analogía con la Física Clásica. Esto no es general, pues en los casos en que la amplitud de probabilidad varía como ~~por ejemplo~~, por ejemplo, no es posible definir la longitud de onda o la frecuencia (y por lo tanto el impulso y energía). Hay otra definición, más general, que incluye ésa.

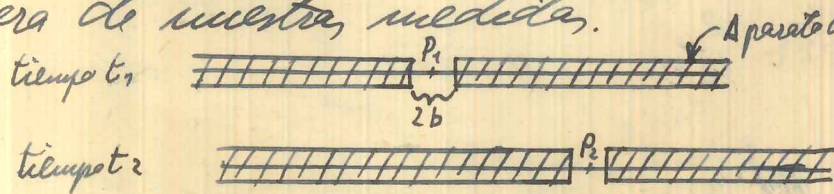
## Medida del momento y energía de una partícula libre.

Hemos considerado hasta ahora la amplitud de probabilidad  $K(x,t)$  para una partícula abandonada en un instante en un punto definido del espacio (o una dimensión), y vimos que su momento era completamente desconocido. Veremos ahora qué es posible decir sobre una partícula en ya posición, en un instante, si conocida con cierta indeterminación (o sea sérese que se halla en una pequeña región). En mecánica clásica, para medir el momento de un cuerpo libre, medimos el tiempo empleado por el cuerpo para ir de un punto  $P_1$  a otro  $P_2$  situado a una distancia conocida del primero (tiempo de vuelo)

$$\begin{array}{ccc} P_1 & d & P_2 \\ \xrightarrow{\hspace{1cm}} & & \xleftarrow{\hspace{1cm}} \\ t_1 & & t_2 \\ \text{1º aparato} & & \text{2º aparato} \\ \text{observado} & & \text{observado} \end{array} \quad v = \frac{d}{t_2 - t_1}$$

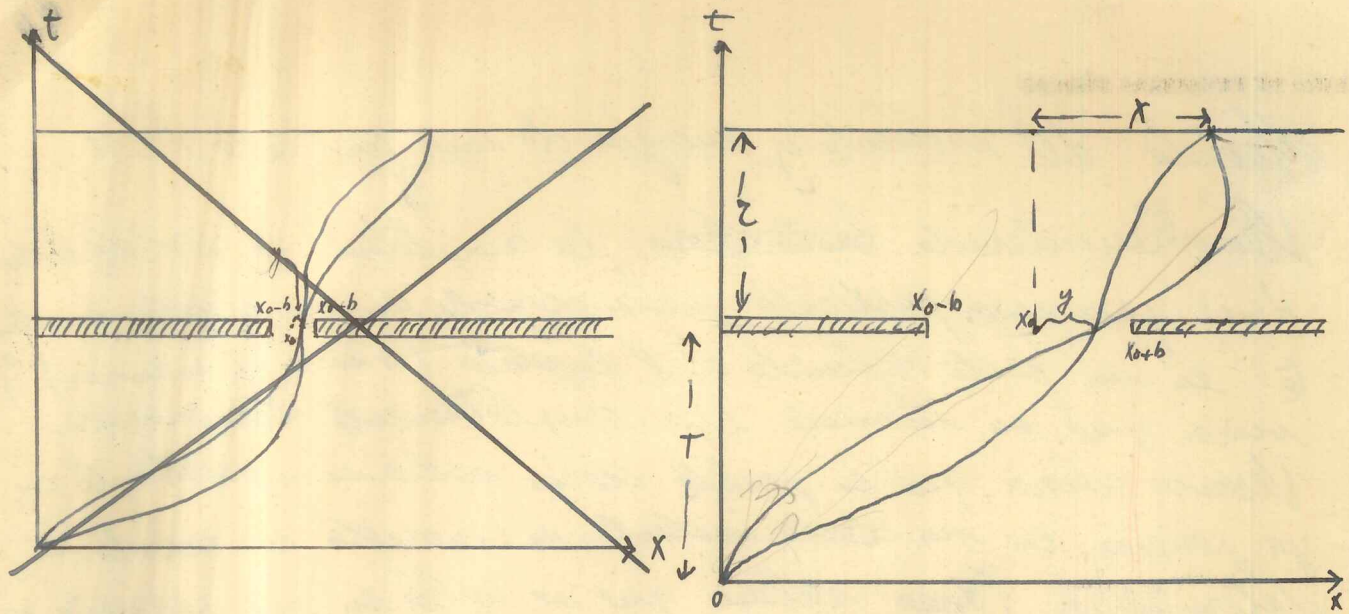
En la M.Q. la observación de una partícula perturba su movimiento. Haremos entonces lo siguiente: en un tiempo  $t_1$  (de hecho en un intervalo de tiempo arbitrariamente pequeño) se colocan detectores a lo largo de todo el espacio (dimensiones) excepto en una pequeña región en torno de  $P_1$ ; si los detectores no acusaran presencia de partícula ello estaría en las proximidades de  $P_1$ . Luminos haremos en el tiempo  $t_2$  para  $P_2$ .

Si la partícula fuera detectada en cualquiera de las 2 observaciones, quedará fuera de nuestra medida.



Todos los partículas que en el tiempo  $t_1$  estuvieran en la franja de largura  $2b$  alrededor de  $P_1$ , podrían llegar a  $P_2$  al tiempo  $t_2$  siguiendo cualquier trayectoria de la M.Q. Calcularemos la amplitud de probabilidad total.

Partículas son emitidas en el instante  $t=0$  de un punto  $x=0$ . En el tiempo  $T$  ellas pueden pasar



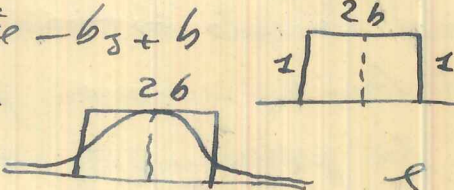
por una fija  $x_0 - b, x_0 + b$ . Por el principio de combinación de amplitudes totales, tendremos para una partícula que parte de  $x=0$  para  $t=0$ , llegará a  $x_0 + x$  en  $T + \tau$

$$K(x, \tau) = \int_{-b}^b dy \sqrt{\frac{m}{2\pi i \hbar T}} e^{\frac{i m}{2\pi c}(x-y)^2} \sqrt{\frac{m}{2\pi i \hbar T}} e^{\frac{i m}{2\pi T}(x_0+y)^2}$$

(Notar que si integráramos de  $-\infty$  a  $\infty$  obtendríamos el  $K$  de una part. libre que va de  $0,0$  a  $x_0 + x, T + \tau$ )

El cálculo de la anterior expresión es matemáticamente muy complicado; por ello haremos un cambio: consideremos la función de peso 1 entre  $-b$  y  $b$

$$\text{para una función de Gauss } e^{-\frac{(y-b)^2}{4b^2}}$$



integraremos de  $-\infty$  a  $+\infty$  obteniendo

$$K = \int_{-\infty}^{+\infty} e^{-\frac{y^2}{4b^2}} \sqrt{\frac{m}{2\pi i \hbar T}} e^{\frac{i m}{2\pi c}(x-y)^2} \sqrt{\frac{m}{2\pi i \hbar T}} e^{\frac{i m}{2\pi T}(x_0+y)^2} dy =$$

$$= \sqrt{\frac{m}{2\pi i \hbar T}} \sqrt{\frac{m}{2\pi i \hbar T}} \exp\left[\frac{i m x^2}{2\pi c} + \frac{i m x_0^2}{2\pi T}\right] \cdot \int_{-\infty}^{+\infty} \exp\left[\frac{i m}{2\pi c} + \frac{i m}{2\pi T} - \frac{1}{4b^2}\right] y^2 + \left(\frac{i m x_0}{\pi T} - \frac{i m x}{\pi c}\right) y dy$$

para la integral I-1 de la tabla:

$$K = \sqrt{\frac{m}{2\pi i \hbar T}} \cdot \sqrt{\frac{m}{2\pi i \hbar T}} \cdot \exp\left[\frac{i m x^2}{2\pi c} + \frac{i m x_0^2}{2\pi T}\right] \cdot \exp\left[-\frac{\left(\frac{i m x_0}{\pi T} - \frac{i m x}{\pi c}\right)^2}{4\left(\frac{i m}{2\pi c} + \frac{i m}{2\pi T} - \frac{1}{4b^2}\right)}\right]$$

$$x \sqrt{\frac{\pi}{\frac{1}{4b^2} - \frac{i m}{2\pi} \left(\frac{1}{c} + \frac{1}{T}\right)}}$$

~~$K = \sqrt{\frac{m}{2\pi i \hbar T}} \cdot \sqrt{\frac{m}{2\pi i \hbar T}}$~~

$$K = \sqrt{\frac{m/2\pi i\tau}{T+\tau - \frac{2T\tau^2}{4b^2im}}} \cdot e^{\frac{i\tau x^2}{2\pi}} \cdot e^{\frac{i\tau v_0^2 T}{2\pi}} \exp \left[ \frac{\frac{m^2}{\tau^2} (x - v_0 \tau)^2}{4(\frac{m}{2\pi}) \left( \frac{1}{T} + \frac{1}{\tau} \right) i - \frac{1}{b^2}} \right]$$

dónde  $v_0 = \frac{x_0}{\tau}$  (velocidad clásica).

La probabilidad para que la partícula llegue a  $x$  es:

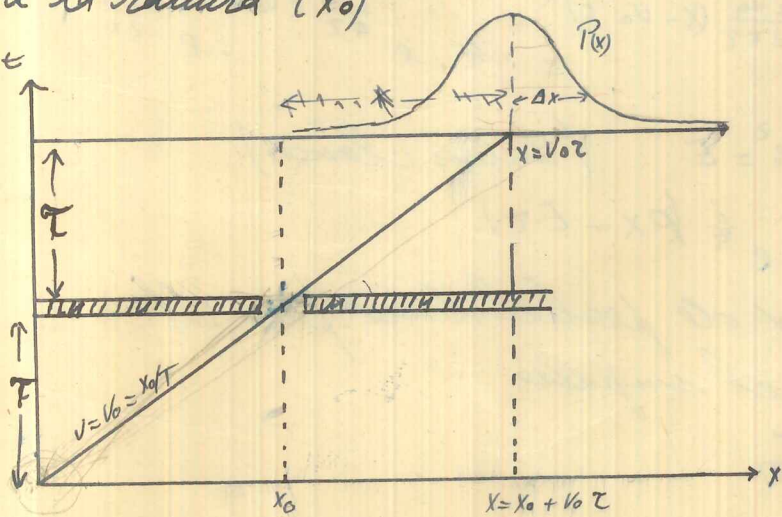
$$P = |K(x)|^2 = \frac{m}{2\pi\tau} \sqrt{\frac{1}{(T+\tau)^2 + \left(\frac{2T\tau^2}{4b^2im}\right)^2}} \cdot \exp \left[ \frac{\frac{m^2}{\tau^2} (x - v_0 \tau)^2 \left(-\frac{2}{b^2}\right)}{\left(\frac{1}{b^2} + \left[\frac{m}{2\pi} \left(\frac{1}{T} + \frac{1}{\tau}\right)\right]^2\right)} \right]$$

y llamando  $(\Delta x)^2 = b^2 \left(1 + \frac{\tau}{T}\right)^2 + \frac{\tau^2 \tau^2}{4b^2 m^2}$

podemos escribir

$$P = \frac{m}{2\pi T} \sqrt{2\pi} \cdot b \cdot \frac{1}{\sqrt{2\pi (\Delta x)^2}} e^{-\frac{(x - v_0 \tau)^2}{2(\Delta x)^2}}$$

La probabilidad que la partícula llegue a  $x$  es del tipo gaussiano y tiene su máximo en  $x = v_0 \tau$  que corresponde a la trayectoria clásica que pasa por el centro de la ranura ( $x_0$ )



El ancho de la curva de Gauss, puede ser caracterizado por el valor de  $\Delta x$ .

$(\Delta x)^2$  es la suma de los términos; el primero vale con  $\frac{\tau}{T}$  hecho esperado clásicamente\* (es lógico que el error aumente al alejar la partícula).

El segundo término es característico de la mec. cuántica.

$$(\Delta x)_{\text{cuant.}} = \frac{\tau \tau}{2bm}$$

Una variación  $\Delta x$  en la posición de la partícula que llegó

\* Geométricamente puede verse que  $\Delta x = b \left(1 + \frac{\tau}{T}\right)$  sera exactamente el error esperado clásicamente.

a la pantalla proveniente de la raíz, corresponde una variación en la velocidad  $\Delta v = \frac{\Delta x}{\tau}$

y una variación  $\Delta p = m \Delta v = m \frac{\Delta x}{\tau}$  en el momento

Luego  $(\Delta p)_{\text{exact.}} = m \frac{(\Delta x)_{\text{exact.}}}{\tau} = \frac{t_0}{2b}$  (indep. de  $\tau$ )

Vemos entonces que una incertidumbre  $\Delta x = \pm b$  en la determinación de la posición del corpusculo produce una indeterminación en la medida del momento que es inversamente proporcional a  $\Delta x$ :

$$\Delta p \propto \frac{1}{\Delta x} = \text{cte.}$$

siendo la constante de la magnitud de  $t_0$

Problema Mostrar que la probabilidad para que la partícula llegue a la pantalla es independiente de  $\tau$ . La incertidumbre en la determinación del momento de una partícula (que depende del ancho de la raíz, como  $\frac{1}{b}$ ) depende todavía del valor de  $T$ : el momento será conocido con mayor precisión cuanto mayor fuera el valor de  $T$  ya que disminuye el valor del  ~~$(\Delta x)_{\text{exact.}}$~~  primer término de  $(\Delta x)^2$  y con ello disminuye  $(\Delta p)^2 = \frac{p^2 \Delta x^2}{T^2}$ .

Tendremos luego un momento bien determinado cuando  $T \rightarrow \infty$  (frente en el infinito) y  $b$  grande.

Cuando  $T$  es muy grande

$$K \rightarrow \text{cte.} \cdot e^{-\frac{i m x^2}{2 T^2}} \cdot e^{-\frac{m^2 (x - v_0 \tau)^2}{2 T^2}} \xrightarrow{\text{constante}} \text{cte.} \cdot e^{-\frac{i m x^2}{2 T^2}} \cdot e^{-\frac{2 m i (x - v_0 \tau)}{T^2}} \quad \text{y si también } b \text{ es muy grande}$$

$\downarrow$   
const. refuta  
 $x + v_0 T$

$$K \rightarrow \text{cte.} \cdot e^{-\frac{i m x^2}{2 T^2}} \cdot e^{-\frac{i m (x - v_0 \tau)^2}{2 T^2}} = \text{cte.} \cdot e^{-\frac{i m x v_0 \tau}{T^2}} \cdot e^{-\frac{-i m v_0^2 \tau^2}{2 T^2}}$$

Con  $m v_0 = p$ ,  $\frac{m v_0^2}{2} = E$  (Valores clásicos)

$$K = C e^{-\frac{i}{\hbar} (p x - E \tau)}$$

valor de la amplitud de probabilidad para el caso en que se conoce bien el impulso.

Foto

## Función de Ondas

Definición:  $\Psi(x, t)$  es la amplitud total para que una partícula llegue a  $x$  al tiempo  $t$ , cualquiera sea el origen de las partículas.

Valle obtendrá que el efecto del efecto  $K(x_1, t_1, x_2, t_2)$  para todas las fases, i.e. partículas.

Sabido  $\Psi$  al tiempo  $t_1$  para todo  $x_1$ , podemos calcular  $\Psi(x_1, t_1)$  para cualquier tiempo posterior ( $t_2 > t_1$ )

En el caso en que la partícula estuviera exactamente en  $x_0$  al instante  $t_0$

$$\Psi_{x_0 t_0} = \Psi(x_0, t_0)$$

Consideraremos ahora el caso en que conocemos  $\Psi(x_1, t_1)$  para todo  $x_1$  función que llamaremos  $f(x_1)$ ;  $\Psi_{x_1 t_1} = K(x_1, t_1, x_0, t_0)$

$$\Psi_{x_2 t_2} = \int K(x_2, t_2, x_1, t_1) K(x_1, t_1, x_0, t_0) dx_1 =$$

$$= \int K(x_2, t_2, x_1, t_1) f(x_1) dx_1 \quad \text{o de una}$$

manner más precisa:

$$\Psi_{t_2} = \int K_{(2)} f_{(1)} dx_1 \quad (\text{Ecuación de Schrödinger})$$

Observamos que para conocer lo que sucede después de  $t_1$ , basta conocer  $f(x_1)$  y no interesa cuál es la evolución de nuestro sistema para  $t < t_1$ . Todo lo que pasará después de  $t_1$  dependerá del periodo saliente por intermedio de  $f(x_1)$ .

### Delta de Dirac

Se define como  $\int \delta(x) f(x) dx = f(0)$

Tenemos  $\int \delta(x-a) f(x) dx = f(a)$

Se define  $\int \delta'(x-a) g(x) dx = -g'(a)$

Tenemos también  $\int \delta(x-a) \delta(x-b) dx = \delta(a-b)$

$$x \delta'(x) = -\delta(x)$$

$\delta(x^2)$  no tiene sentido ya que no podemos dar una definición única.

Si tenemos una función  $f$  con una sola discontinuidad dada a en el punto  $b$

$$f(b) = a \delta(x-b)$$

Ver

$$\delta(ax) = \frac{1}{a} \delta(x) ; \delta(F(x)) = \sum_i \frac{1}{|F'(x_i)|} \delta(x - x_i)$$

donde  $x_i$  son los ceros de  $F'$ :  $F'(x_i) = 0$

$$\delta(k^2 - t^2) = \frac{1}{2k} (\delta(k-t) + \delta(k+t))$$

Definición  $K(2,1) = 0$  para  $t_2 < t_1$ ,

$K_0(2,1)$  satisfará la ecuación

$$\left( -\frac{t_1}{i} \frac{\partial}{\partial t_2} + \frac{t_1^2}{2m} \nabla_{x_2}^2 \right) K_0(2,1) = i \cdot t_1 \delta(t_2 - t_1) \delta(x_2 - x_1) \delta(y_2 - y_1) \delta(z_2 - z_1)$$

## Partícula en campo potencial general

CENTRO BRASILEIRO DE PESQUISAS FÍSICAS

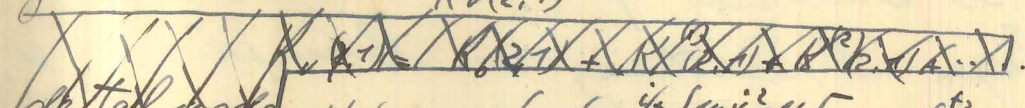
En el caso en que la partícula está sometida a fuerzas que derivan de un potencial  $L = \frac{m\dot{x}^2}{2} - V(x, t)$  (una dimensión)

El problema de hallar  $K_V$  (o sea sumar  $e^{\frac{i}{\hbar} \int^x}$  sobre todas las trayectorias) es en general difícil; en algunos casos (por ej.  $V$  cuadrática) el problema es fácilmente resoluble.

$$K_V(t_2, t_1; x_1, t_1) = \int \int e^{\frac{i}{\hbar} \int_{x_1}^{x_2} \left( \frac{m\dot{x}^2}{2} - V(x(s), s) \right) ds} D_x$$

dónde  $x(t_1) = x_1$ ;  $x(t_2) = x_2$

Consideraremos suponiendo que la influencia de  $V$  es pequeña y desarrollaremos  $K_V(2, 1)$



$$K_V(2, 1) = \int \int e^{\frac{i}{\hbar} \int_{x_1}^{x_2} \left( \frac{m\dot{x}^2}{2} - V(x(s), s) \right) ds} \left[ 1 - \frac{i}{\hbar} \int_{t_1}^{t_2} V(x(s), s) ds + \frac{1}{2} \left( \frac{i}{\hbar} \int_{t_1}^{t_2} V(s) ds \right)^2 \dots \right] D_x$$

$$\text{o sea } K_V(2, 1) = K_0(2, 1) + K^{(1)}(2, 1) + K^{(2)}(2, 1) + \dots$$

$$\text{dónde } K^{(n)}(2, 1) = (-\frac{i}{\hbar})^n \int \int e^{\frac{i}{\hbar} \int_{x_1}^{x_2} \left( \frac{m\dot{x}^2}{2} - V(x(s), s) \right) ds} D_x$$

de tal modo si  $V$  es proporcional a una constante  $\lambda$ ,  $K^{(n)}$  será proporcional a  $\lambda^n$

Podremos escribir

$$K^{(1)}(2, 1) = -\frac{i}{\hbar} \int ds [ ] \quad \text{dónde}$$

$$[ ] = \int \int e^{\frac{i}{\hbar} \int_{x_1}^{x_2} \left( \frac{m\dot{x}^2}{2} - V(x(s), s) \right) ds} D_x = \int dx_s V(x_s) \int e^{\frac{i}{\hbar} \int_{x_1}^{x_2} \left( \frac{m\dot{x}^2}{2} - V(x(s), s) \right) ds} D_x =$$

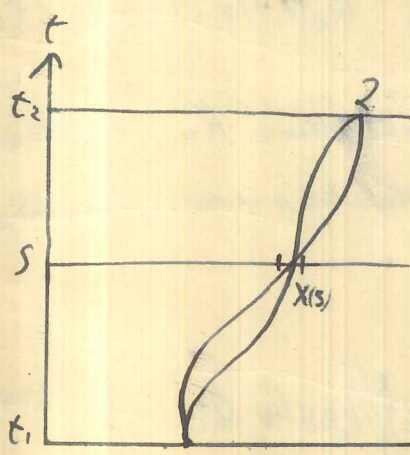
Integración  
de la 2

todas las  
que van de  
a 2 periodo  
para  $x_s$

$$= \int dx_s V(x_s) \int \int e^{\frac{i}{\hbar} \int_{x_1}^{x_2} \left( \frac{m\dot{x}^2}{2} - V(x(s), s) \right) ds} D_x \int e^{\frac{i}{\hbar} \int_{x_1}^{x_2} \left( \frac{m\dot{x}^2}{2} - V(x(s), s) \right) ds} D_x =$$

toda tra  
de  $x(s)$       toda tra  
de  $x(s)$

$$= \int K_0(x_2, x_s, s) V(x_s) K_0(x_s, x_1, t_1) dx_s$$

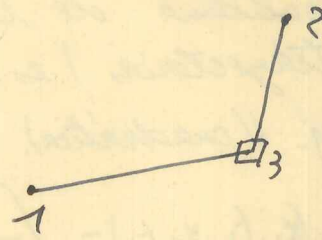


De este modo en  $[ ]$  consideramos ante la suma sobre todas las trayectorias que pasan por un intervalo  $dx_s$  para luego sumar sobre los intervalos.

$$\text{Llamando } s=t_3 \quad x_3 = x_3 \quad V(x_3, t_3) = V_3$$

$$K^{(1)}_{(2,1)} = -\frac{i}{\xi} \int K_0(2,3) V_3 K_0(3,1) d\tau_3$$

Podemos interpretar  $K^{(1)}_{(2,1)}$  como la contribución al  $K_v$  de las trayectorias que sufrieron un solo "scattering" en  $x_3$ , debido al potencial, comportándose fuera de  $x_3$  como trayectorias de partículas libres

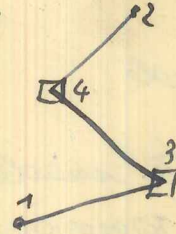


La amplitud, por unidad de volumen y tiempo, para "espallar" sería  $-\frac{i}{\xi} V$ ; la integral en la expresión de  $K^{(1)}_{(2,1)}$  proviene de considerar que todos los elementos  $d\tau_3$  contribuyen al scattering con la amplitud  $-\frac{i}{\xi} V$ .

De manera análoga resulta (Ver ej. )

$$K^{(2)}_{(2,1)} = \left(-\frac{i}{\xi}\right)^2 \int K_0(2,4) V_4 K_0(4,3) V_3 K_0(3,1) d\tau_3 d\tau_4$$

pudiendo interpretar  $K^{(2)}_{(2,1)}$  como la contribución a  $K_v$  de las partículas que ~~vuelven~~<sup>vuelven</sup> comportándose como partículas libres salidas de los scatterings. Es decir, que en la anterior expresión de  $K^{(2)}_{(2,1)}$  está considerada, como es evidente, todo la trayectoria como la  $N$ ; si quisieras excluir aquella en que habría que volver para el periodo habría que multiplicar por  $\frac{1}{2}$  la expresión de  $K^{(2)}_{(2,1)}$ , lo que es equivalente, imponer  $K_0(2,1) = 0$  si  $t_2 < t_1$ .



Si tuviéramos  $L = \frac{m\vec{r}^2}{2} - U - V$  y conocieramos  $K_u$ , valdría toda las fórmulas anteriores, donde habría que emplear  $K_0$  por  $K_u$  y  $K_0$  por  $K_{u+v}$

Ecuación integral para  $K_v$

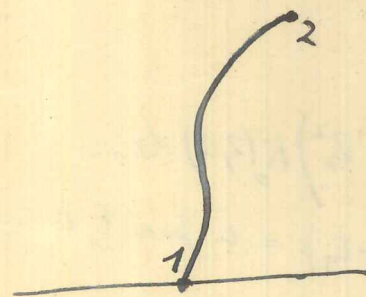
$$K_v(2,1) = K_0(2,1) - \frac{i}{\xi} \int K_0(2,3) V_3 K_0(3,1) d\tau_3 + \left(-\frac{i}{\xi}\right)^2 \int K_0(2,3) V_3 K_0(3,4) V_4 K_0(4,1) d\tau_4 + \dots$$

$$= K_0(2,1) - \frac{i}{\xi} \int d\tau_3 K_0(2,3) V_3 \left\{ K_0(3,1) - \frac{i}{\xi} \int K_0(3,4) V_4 K_0(4,1) d\tau_4 + \dots \right\} \dots$$

$$K_v(2,1) = K_0(2,1) - \frac{i}{\xi} \int K_0(2,3) V_3 K_0(3,1) d\tau_3$$

Idea intuitiva de la ecuación integral

Podemos llamar 3 al último scattering, el cuyo caso  $-\frac{i}{\hbar} \int K_0(2,3) V_3 K_{3,1} dt_3$ , nos describirá el ~~scatt~~  $K$  de una partícula que sufre todos los scatterings característicos al potencial  $V$  incluyendo el último. El término  $K_0(2,1)$  provee de la probabilidad que la partícula no pase scattering alguno y que por lo tanto no pueda hablarse del último de ellos.

Funciones de onda ; ecuación integral

$$\Psi_{(2)} = \int K_0(2,1) f(x_1) dx_1 \quad (t_1 \text{ fijo}) \dots$$

$$\Psi_{(2)} = \int K_0(2,1) f(x_1) dx_1 - \frac{i}{\hbar} \int \left[ K_0(2,3) V_3 K_{3,1} f(x_1) dx_1 + \left(\frac{i}{\hbar}\right)^2 \int \dots \right] \dots$$

Definiendo  $\Psi_{(2)} = \int K_0(2,1) f(x_1) dx_1$  {función de onda sin pot. / si es definida a partir de  $f(x_1)$ }

$$\Psi_{(2)} = \Psi_{(2)} - \frac{i}{\hbar} \int K_0(2,3) V_3 \Psi_{(3)} dt_3 + \left(\frac{i}{\hbar}\right)^2 \int \int K_0(2,3) V_3 K_{3,4} V_4 \Psi_{(4)} dt_4 dt_3$$

Una interpretación intuitiva análoga al desarrollo de  $K$  puede ser dada para la fórmula anterior: para llegar de 1 a 2 puede llegar directamente (contribución igual a  $\Psi_{(2)}$ ) , mediante un scattering ~~del~~ dos o varios obteniendo así los sucesivos términos como contribuciones.

$$\Psi_{(2)} = \Psi_{(2)} - \frac{i}{\hbar} \int dt_3 K_0(2,3) V_3 \left\{ \Psi_{(3)} - \frac{i}{\hbar} \int K_0(3,4) V_4 \Psi_{(4)} dt_4 + \dots \right\} \dots$$

$$\boxed{\Psi_{(2)} = \Psi_{(2)} - \frac{i}{\hbar} \int K_0(2,3) V_3 \Psi_{(3)} dt_3}$$

Habíamos visto que  $K_0(2,1)$  cumple la ecuación:

$$\left(-\frac{\hbar}{i} \frac{\partial}{\partial t_2} - \frac{\hbar^2}{2m} \nabla_2^2\right) K_0(2,1) = -\frac{\hbar}{i} \delta(t_2 - t_1) \delta(x_2 - x_1) \delta(y_2 - y_1) \delta(z_2 - z_1)$$

Calculemos ahora:

$$\left(-\frac{\hbar}{i} \frac{\partial}{\partial t_2} - \frac{\hbar^2}{2m} \nabla_2^2\right) K_v(2,1) = \left(-\frac{\hbar}{i} \frac{\partial}{\partial t_2} - \frac{\hbar^2}{2m} \nabla_2^2\right) \left\{ K_0(2,1) - \frac{i}{\hbar} \int K_0(2,3) V(3) K_v(3,1) d\tau_3\right\}$$

$$-\frac{\hbar}{i} \delta(2,1) - \frac{i}{\hbar} \int \cancel{V(3)} K_v(3,1) \left(-\frac{\hbar}{i} \frac{\partial}{\partial t_2} - \frac{\hbar^2}{2m} \nabla_2^2\right) K_0(2,3) d\tau_3;$$

$$\delta(2,1) = \delta(t_2 - t_1) \delta(x_2 - x_1) \delta(y_2 - y_1) \delta(z_2 - z_1)$$

$$= -\frac{\hbar}{i} \delta(2,1) + \int V_{(3)} K_v(3,1) \delta(2,3) d\tau_3 = -\frac{\hbar}{i} \delta(2,1) + V(2) K_v(2,1)$$

$$\therefore \boxed{\left(-\frac{\hbar}{i} \frac{\partial}{\partial t_2} - \frac{\hbar^2}{2m} \nabla_2^2 - V(2)\right) K_v(2,1) = -\frac{\hbar}{i} \delta(2,1)}$$

$$\boxed{\left(-\frac{\hbar}{i} \frac{\partial}{\partial t_2} - \frac{\hbar^2}{2m} \nabla_2^2\right) K_0(2,1) = -\frac{\hbar}{i} \delta(2,1)}$$

Teníamos:  $\psi_o(2) = \int K_0(2,1) \psi_o(1) dx_1$

$$\left(-\frac{\hbar}{i} \frac{\partial}{\partial t_2} - \frac{\hbar^2}{2m} \nabla_2^2\right) \psi_o(2) = \int \psi_o(1) \left(-\frac{\hbar}{i} \frac{\partial}{\partial t_2} - \frac{\hbar^2}{2m} \nabla_2^2\right) K_0(2,1) dx_1 =$$

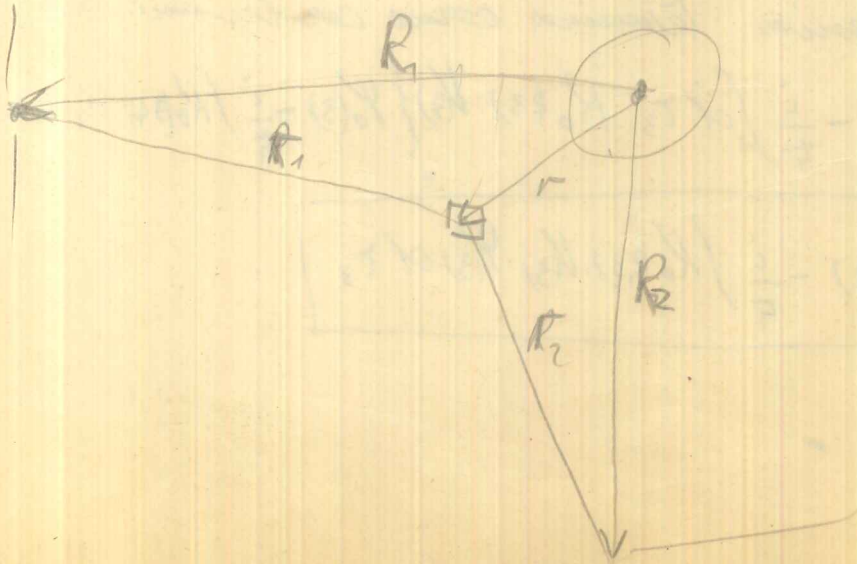
$$-\frac{\hbar}{i} \int \psi_o(1) \delta(2,1) dx_1 = -\frac{\hbar}{i} \psi_o(2) \delta(t_2 - t_1) = 0 \text{ pues } t_1 < t_2.$$

Luego  $\boxed{\left(-\frac{\hbar}{i} \frac{\partial}{\partial t_2} - \frac{\hbar^2}{2m} \nabla_2^2\right) \psi_o(2) = 0}$

A partir de la ecuación:

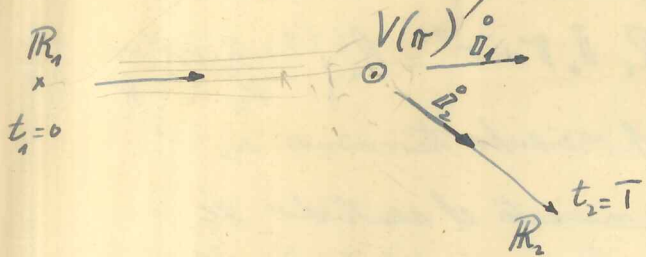
$\psi(2) = \int K_v(2,1) \psi(1) dx_1$  demostramos análogamente:

$$\boxed{\left\{-\frac{\hbar}{i} \frac{\partial}{\partial t_2} - \frac{\hbar^2}{2m} \nabla_2^2 - V(2)\right\} \psi(2) = 0}$$



El origen de coordenadas es el centro del potencial,  
es decir  $\vec{R} = 0$

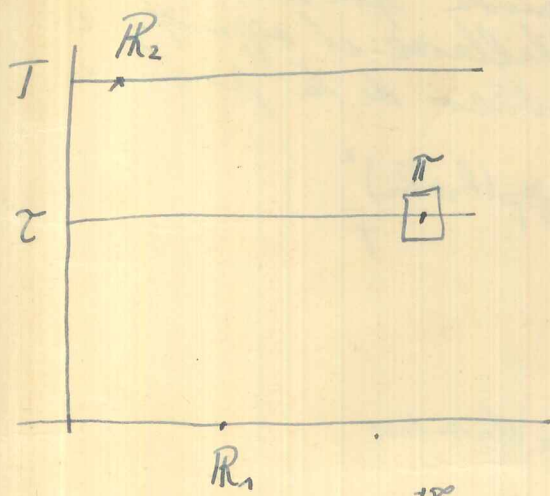
## Scattering en la aproximación de Born



Tenemos un partícula cuya posición conocemos al tiempo  $t_1 = 0$  y queremos saber cuáles es la probabilidad de encontrarla en  $R_2$  después de un tiempo  $T$ . La partícula

puede ser un electrón que interaccione con un átomo.  
Haremos la hipótesis que el átomo actúa como un potencial.

- 1) átomo a potencial fijo no en el espacio (es decir el átomo es tan pesado que no se move y el potencial creado por él no depende del tiempo).
- 2)  $V = \infty$  tiene efecto pequeño. Vamos a decir que el electrón sufre un solo scattering. (Aproximación de Born). Estas dos hipótesis son buenas para energías muy altas.



El hecho de suponer un solo scattering equivale a estudiar sólo el término

$$K_v^{(1)}(2,1) = -\frac{i}{\hbar} \int K_0(2,3) V(3) K_0(3,1) d^3 r_3$$

Reemplazando  $K_0(2,3)$  y  $K_0(3,1)$  (amplitudes de probabilidad para la partícula libre tenemos:

$$K_v^{(1)}(2,1) = -\frac{i}{\hbar} \int_0^T \int_{-\infty}^{+\infty} \sqrt{\frac{m}{2\pi i\hbar(T-t)}} \sqrt{\frac{m}{2\pi i\hbar T}} e^{\frac{im(R_2-\pi)^2}{2\hbar(T-t)}} e^{\frac{im(R_2-\pi)^2}{2\hbar T}} V(\pi) d^3 \pi dt$$

V no depende de  $t$ .

Por la integral I.5 :

$$K_v^{(1)}(2,1) = -\frac{i}{\hbar} \left( \sqrt{\frac{m}{2\pi i\hbar}} \right)^5 \frac{1}{\sqrt{T^3}} \left( \frac{1}{r_1} + \frac{1}{r_2} \right) e^{\frac{im(r_1+r_2)^2}{2\hbar T}} V(\pi) d^3 \pi$$

$$\text{donde } r_1^2 = (R_1 - \pi)^2, \quad r_2^2 = (R_2 - \pi)^2$$

O sea  $r_1 = |R_1 - \pi|$ . Supondremos que  $V(\pi) \sim 0$  para valores un poco grandes de  $\pi$ . Por tanto podemos suponer  $\pi$  pequeño. Una primera aproximación sería  $r_1 = R_1$ , siendo  $R_1$  y  $R_2$  definidos por:

$R_1 = -\vec{R}_1; \quad R_2 = \vec{R}_2$ , es decir  $R_1$  y  $R_2$  con respectivamente los módulos de  $\vec{R}_1$  y  $\vec{R}_2$ . ( $\vec{R}_1$  e  $\vec{R}_2$  son versores).

La aproximación  $r_1 = R_1$  podría ser usada en el factor  $\left( \frac{1}{r_1} + \frac{1}{r_2} \right)$  pero no basta en la fase, es decir en el cálculo del exponencial, pues una pequeña variación de  $r_1$  alta puede afectar muchísimo el resultado si el factor  $\frac{m}{2\hbar T}$  fuera grande.

Una aproximación mejor y conveniente es:

$$r_1 = R_1 + \bar{D}_1 \cdot T \quad r_2 = R_2 - \bar{D}_2 \cdot T$$

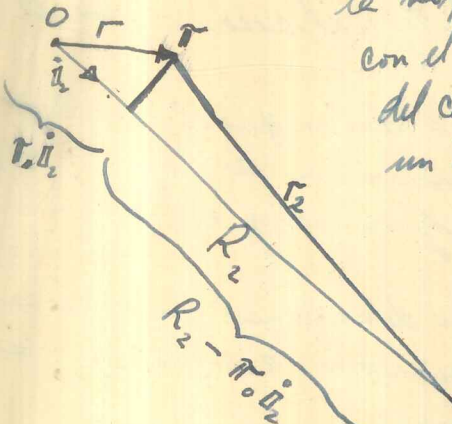
Demostremos analíticamente la primera fórmula:

$$r_1^2 = R_1^2 - 2R_1 \cdot \bar{D}_1 \cdot T + T^2 = R_1^2 + 2R_1 \bar{D}_1 \cdot T + T^2 = R_1^2 \left(1 + \frac{2\bar{D}_1 \cdot T}{R_1} + \frac{T^2}{R_1^2}\right) \therefore$$

$$\therefore r_1 = R_1 \left(1 + \frac{2\bar{D}_1 \cdot T}{R_1} + \frac{T^2}{R_1^2}\right)^{\frac{1}{2}}; \text{ despreciando términos en } T^2:$$

$$r_1 = R_1 + \bar{D}_1 \cdot T$$

Veamos geométricamente el sentido de la segunda fórmula (ver dibujo). Es obvio que en dicha aproximación identificamos la hipotenusa del triángulo rectangular con el cateto mayor, despreciando el cuadrado del cateto menor, es decir despreciando un término del orden de  $T^2$ .



Naturalmente, puede hacerse la demostración analítica de esta segunda fórmula. Puede hallarse el significado geométrico de la primera.

Con estas aproximaciones se obtiene:

$$K_v^{(1)}(2,1) = -\frac{i}{\hbar} \left( \sqrt{\frac{m}{2\pi i \hbar}} \right)^5 \frac{1}{\sqrt{T^3}} \left( \frac{1}{R_1} + \frac{1}{R_2} \right) e^{\frac{i m}{2\hbar T} (R_1 + R_2)^2} F$$

$$F = \int e^{\frac{i m}{\hbar T} (R_1 + R_2) (\bar{D}_1 \cdot T - \bar{D}_2 \cdot T)} V(\pi) d^3\pi$$

Interpretaremos los resultados con ideas clásicas

Definimos:

$$v = \frac{R_1 + R_2}{T}; \quad m v \bar{D}_1 = p_1; \quad m v \bar{D}_2 = p_2$$

Naturalmente las magnitudes de estos dos impulsos son iguales.

Llamemos

$$q = p_2 - p_1$$

$$K_v^{(1)}(2,1) = -\frac{i}{\hbar} \left( \sqrt{\frac{m}{2\pi i \hbar}} \right)^5 \frac{v}{R_1 R_2 T^{\frac{3}{2}}} e^{\frac{i m v^2 T}{2\hbar} \left( \frac{i}{\hbar} (p_2 - p_1) \cdot T \right)} \int e^{\frac{i}{\hbar} (p_2 - p_1) \cdot T} V(\pi) d^3\pi$$

impulsos momentos iniciales y finales, no de las posiciones iniciales y finales.

Se ve que  $v(q)$  es la transformada de Fourier de  $V(\pi)$ .

La probabilidad de llegar por  $\text{cm}^3$  será:

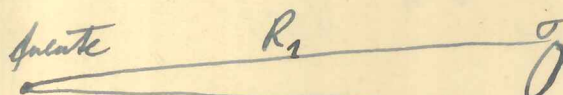
$$P = \frac{1}{\hbar^2} \left( \frac{m}{2\pi i \hbar} \right)^5 \frac{v^2}{R_1^2 R_2^2 T} |v(q)|^2$$

Se puede interpretar diciendo que este es el prob. por  $\text{cm}^3$  de partículas incidentes y de ~~emergentes~~ emergentes.

Como  $P$  es en 3 dimensiones,  $K$  tiene dimens. de  $\frac{1}{L^3}$   $\therefore P \sim \frac{1}{L^6}$

Se ve fácil para una dimensión. La probabilidad de llegar desde  $0,0$  a  $(x, t)$  es  $\frac{m}{2\pi\hbar} dx = dp$ ;  $\frac{m}{t} dx = \frac{dp}{2\pi\hbar t}$ ;  $P = \frac{m}{t}$

### Concepto clásico de sección de choque



Sea  $\frac{d^3 p}{(2\pi\hbar)^3}$  el número de partículas de impulso comprendido entre  $p$  y  $p + dp$ .

Calculando el n.º de partículas que pasan por  $dA$  entre  $T - dt$  y  $T$ , al número de partículas que llegan a  $t$ , cuyo impulso está comprendido entre  $p$  y  $p + dp$  será:

$$\frac{d^3 p}{(2\pi\hbar)^3} dA = \frac{d^3 p}{(2\pi\hbar)^3} \frac{\sigma}{R_1^2} = \left(\frac{m}{2\pi\hbar}\right)^3 v^2 dv \frac{\sigma}{R_1^2} ; \quad v: \text{veloc. de las partículas.}$$

El número de las partículas que, teniendo velocidad entre  $v$  y  $v + dv$ , han sido scattered en  $\sigma$  y pasan la un seg. por  $A$  será:

$\frac{d}{dt} \left( \frac{m}{2\pi\hbar} \right)^3 v^2 dv \frac{\sigma}{R_1^2} \frac{dA}{R_2^2}$ ; si  $T$  es el tiempo que una partícula que ha llegado a la superf.  $dA$ , la partícula con velocidad  $v$  ha tardado  $v$  en llegar de la fuente a la superf.  $dA$ , la partícula con velocidad  $v + dv$  habrá recorrido al tiempo  $T$  un trayecto adicional  $dw = Tdv$ . Luego todas las partículas cuyas velocidades estén comprendidas entre  $v$  y  $v + dv$  que atraviesan  $dA$ , estarán al tiempo  $T$  en el volumen  $dwdA$ . Es el número total de partículas que dejan  $dA$  al tiempo  $T$  entre  $T - dt$  y  $T$ .

$$= \left( \frac{m}{2\pi\hbar} \right)^3 v^2 \frac{dw}{T} \frac{dA}{R_1^2 R_2^2} \sigma = \text{Prob. clásica entre } T, T - dt \text{ de atravesar } dA \text{ por } dw.$$

Para tener probabilidades por unidad de volumen dividimos por  $dw$ :

$$\text{Prob. clásica por } cm^3 \text{ y por } dw = \left( \frac{m}{2\pi\hbar} \right)^3 \frac{v^2 \sigma}{TR_1^2 R_2^2}$$

Comparando con la probabilidad clásica:

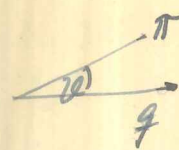
$$\sigma = \left( \frac{m}{2\pi\hbar^2} \right)^2 |v(q)|^2 \quad (\text{Aproximación de Born})$$

sección de choque diferencial

Es obvio que la probabilidad total debe disminuir cuando  $R_1$  o  $R_2$  aumentan, pues entonces disminuye la probabilidad de que una partícula llegue a  $\sigma$ , y la probabilidad de que habiendo llegado a  $\sigma$  atraviese  $dA$ , respectivamente.

## Aplicaciones de la fórmula.

Sea  $V(r)$  un potencial central.  $V(r) = V(r)$  no depende de la dirección.

$$v(q) = \int e^{i \frac{q \cdot r}{\hbar}} V(r) d^3 r = \int e^{i \frac{q \cdot r}{\hbar}} V(r) r^2 dr d(\cos \theta) \frac{d\phi}{2\pi}$$


$$= \left[ \frac{4\pi\hbar}{q} \int_0^\infty \sin\left(\frac{qr}{\hbar}\right) V(r) r dr \right] = v(q)$$

En este caso  $v$  no depende del vector  $q$  sino de su módulo.

### Caso especial Potencial de Coulomb.

$$V(r) = \frac{2e^2}{r}; \int_0^\infty \frac{2e^2}{r} r \sin\left(\frac{qr}{\hbar}\right) dr = -\frac{2e^2\hbar}{q} \cos\left(\frac{qr}{\hbar}\right) \Big|_0^\infty$$

El coseno tomado en el infinito es 0 para los físicos.

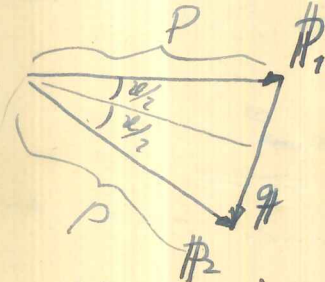
$$V(q) = \frac{4\pi 2e^2\hbar^2}{q^2} \quad \begin{array}{l} \text{La sección de choque en esta} \\ \text{el hecho de salir 0 el } \cos(0) \text{ equivale} \end{array}$$

a haber supuesto un factor  $e^{-qr/\hbar}$  dentro de la integral, haber integrado y luego haber tomado el límite  $r \rightarrow \infty$ .

La sección de choque en este caso:

$$\sigma = \left( \frac{m}{2\pi\hbar^2} \right)^2 \left( \frac{4\pi 2e^2\hbar^2}{q^4} \right)^2 \quad \text{Li llamamos } P = m V$$

$$|q| = 2P \sin \frac{\theta}{2}$$



$$\sigma = \frac{2^2 e^4}{4 m^2 \hbar^4 \sin^4 \frac{\theta}{2}} \quad \rightarrow \text{potencial Coulombiano.}$$

### Observaciones (accidentes)

1) En el caso del potencial Coul. le apox. de Born en Mecánica Cuántica da resultados exactos.

2) Es el único potencial para el cual la Fís. Clás. da el mismo resultado que la Cuántica.

No se ha encontrado todavía una razón profunda para explicar estos dos accidentes.

### Problemas

1) Sea un potencial  $\begin{cases} V=0 & r>d \\ V=V_0 & r \leq d \end{cases}$

(14)

Determinar la sección diferencial y total de choque.

2) Se tiene una carga positiva  $Ze$  y alrededor un sistema de cargas eléctricas con densidad  $\rho(\mathbf{r})$ . Demostrar:

$$\sigma(q) = \frac{4\pi h^2 e^2}{q^2} \left( Z - \underbrace{\int e^{i\mathbf{q} \cdot \mathbf{r}} \rho(\mathbf{r}) d^3 r}_{\text{form factor}} \right)$$

3) Podemos decir que un atomo real tiene un potencial que no es Coulombiano. Una aproximación grosera es:

$$\frac{Ze^2}{r} e^{-\alpha r} \quad \text{se demuestra que } \alpha = \frac{h^2}{me^2 Z^2}$$

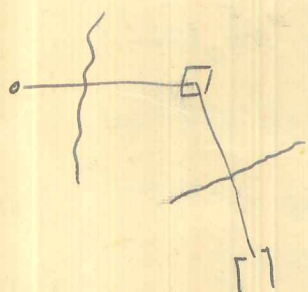
Por demostrar que para ese potencial:

$$\sigma(q) = \frac{4\pi Z e^2 h^2}{q^2 + (\frac{h}{\alpha})^2} \quad \text{Calcular } \sigma_{\text{total}} = \int \sigma(r) \sin \theta d\theta d\phi \frac{1}{2\pi}$$

Observar y describir para qué ángulo difiere esto del caso de Coulomb.

4)

Calcularemos de otro modo el scattering.



$$\Psi_{(2)} = \Psi_{(2)} - \frac{i}{5} \int K_0(R_3) \Psi_{(3)} d\tau_3 = \Psi_0 + \Psi_{\text{scatt.}}$$

En la aprox. de Born.

$$\Psi_2 \approx \Psi_0 - \frac{i}{5} \int K_0(R_3) \Psi_{(3)} d\tau_3$$

Consideraremos únicamente el  $\Psi_{\text{scatt.}}$

$$\Psi_{(k_2, t_2)} = -\frac{i}{5} \int \sqrt{\frac{m}{2\pi i \hbar (t_2 - t_3)}}^3 e^{\frac{i}{2\pi} \frac{m(R - R')^2}{(t_2 - t_3)}} V(R) \Psi_{(3)} d\tau_3$$

$$\Psi_{(3)} = e^{-\frac{iEt_3}{5}} e^{iP_3 \cdot \mathbf{x}_3}$$

$$\Psi_{(k_2, t_2)} = -\frac{i}{5} \int \sqrt{\frac{m}{2\pi i \hbar (t_2 - t_3)}}^3 e^{\frac{i}{2\pi} \frac{m(R - R')^2}{(t_2 - t_3)}} V(R) e^{-iEt_3} e^{iP_3 \cdot \mathbf{R}} d^3 r dt$$

Haciendo  $x = \sqrt{t_2 - t_3}$  por  $I_3$  se llega a:

$$Y_{(B)} = e^{-\frac{iE_2 t_2}{\hbar}} \int V(M) e^{\frac{i}{\hbar} P_1 \cdot \mathbf{r}} \frac{e^{i\sqrt{mE} r_2}}{r_2} d^3 \mathbf{r}$$

$$\text{dandy } F_2 = |R_2 - \pi|$$

Probl. Muestra que es constante superior que si la partícula que entra tiene una energ. definida y el potencial no varía con el tiempo, la energía de la partícula scaterrada es menor que la de la part. entrante:  $T_{\text{sal}}^{-\frac{1+iE}{5}}$ :  $T_{\text{en}}^{-\frac{1+iE}{5}}$

$$\left. \begin{array}{l} \text{Para distancias grandes, } \cancel{\text{entre la } f^o} \\ R_2 = R_2 - \pi_2 \cdot \overline{r} \end{array} \right\} \begin{array}{l} \sqrt{2mE} = P \\ P_{\pi_2} = \overline{P}_2 \end{array}$$

$$\Psi(R_2, t_2) = \frac{e^{-\frac{iE_2 t_2}{\hbar}} e^{\frac{iP R_2}{\hbar}}}{R_2} \left( \frac{m}{2\pi\hbar^2} \right)^{1/4} V(q) \quad ; \quad V(q) = \int V(r) e^{\frac{i}{\hbar} (\hat{P}_r - P_r) \cdot \vec{r}} d^3 r$$

Respecto a la amplitud para llegar es inversamente proporcional a  $R_2$ .  
 Veremos que la razón de ésta

$$\frac{\text{Prob.}}{\text{cm}^3} = 1 \quad (\text{for elley incident})$$



la corriente =  $N_1$

Vº de colchões para regimento V.O

$$N^o \text{ de partículas que pasan por dA por segundo} = N_1 \sigma \frac{dA}{R^2}$$

Estas partículas ocupan un volumen V<sub>0</sub> de la  
célula. Si T es la temperatura

$$\text{demanded} = \frac{C^o \text{ depart}}{\text{au}^3} = \frac{v_1}{\partial r} \cdot T \frac{1}{R^2} \quad \rightarrow \text{circular}$$

$T_1 = \frac{V_2}{V_1} \left( \frac{m}{2\pi h^2} \right)^2 |v_{(1)}|^2$  pero  $\frac{V_2}{V_1} = 1$  porque la partícula incidente tiene igual módulo del momento que la expulsada.

Con este método obtendremos para el Gráfico formalmente lo que queremos.

$$\Psi_{\text{asympt.}} = e^{ikz} + \frac{e^{ikR}}{R} f(k, \varphi) \quad \text{ donde } f(k, \varphi) = \frac{m}{2\pi \hbar^2} \int V(r) e^{-ikr} d^3 r$$

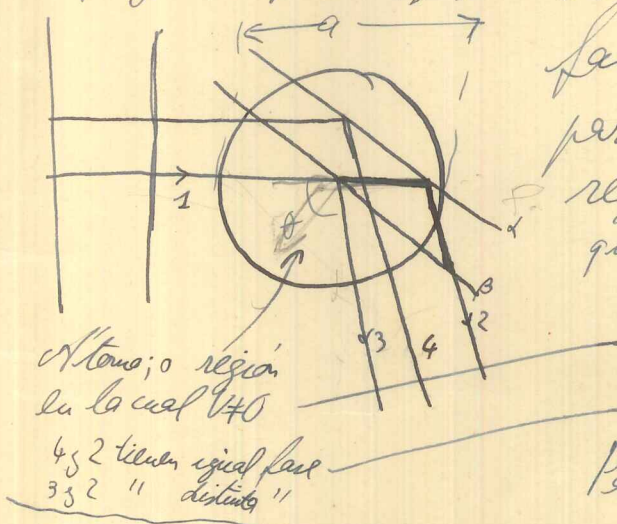
$R = \frac{P}{V}$  (El término  $e^{-\lambda t}$  representa  $V_0$ );  $V = f(t) V_0$

Problema: Mostrar en general (o sea no solo en la apx. de Doria) que la función de onda debe tener la expresión asintótica antepuesta, aunque la forma de  $f$  sea bastante más difícil (muyazar  $\Psi_0 = e^{-\frac{iEt}{\hbar}} \Psi_0(x)$ ,  $\Psi_1 = e^{-\frac{iEt}{\hbar}} \Psi_1(x)$ ).

$$\text{La fórmula } V(R_2, t_2) = e^{-\frac{i}{\hbar} Et_2} \frac{u}{2\pi t^2} \int e^{i\frac{V_{ext}(r)}{\hbar} t_2} V(r) e^{\frac{i}{\hbar} \phi^2} d^3 r$$

puede ser interpretada como el producto de las amplitudes para que la partícula llegue (como partícula) a  $r$ , sea expulsada (amplitud prop. a  $V(r)$ ) y luego prenda como onda esférica hasta  $R_2$ . O sea de cada elemento de expulsión esférica viene el  $\frac{e^{ikR_2}}{R_2}$ .

Una interpretación intuitiva de la distribución angular (reflejada por  $V(\theta)$ ) es que da la diferencia de fase con la cual llegan al receptor partículas expulsadas por distintas regiones ( $\pm$  valores de  $\theta$  en la integral que da  $V(\theta)$ ), lo que interfiere destruyéndole aquellas cuya diferencia de fase es  $1/2$ .



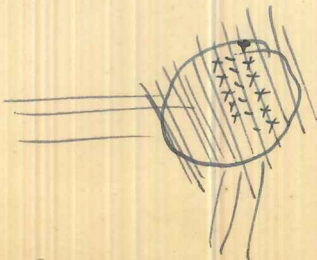
Por ejemplo (ver figura) los rayos 2 y 3 provenientes de spallamiento sobre los planos  $\alpha$  y  $\beta$  se destruyen si la diferencia de caminos (punto difuminado más grueso) es  $1/2$ . Cuanto más pequeño sea  $\lambda$  y más próximos estén los planos  $\alpha$  y  $\beta$ , mayor será la serie de interferencias destructivas y menor la intensidad notada por el receptor de partículas.

Por otro lado cuanto mayor será  $\delta$  (entre  $\alpha$  y  $\beta$ ), más se acercarán los planos y menor será la intensidad de partículas. Para  $\delta=0$  todos los rayos "están en fase" y la intensidad será máxima.

Para que haya efecto angular es evidente que  $\delta$  debe ser menor que  $\pi/2$  por lo tanto cuanto menor sea  $\lambda$  mayor será el efecto.

Si  $\lambda$  es muy pequeño tendremos intensidad nula para  $\delta=\pi/4$

Este argumento no funcionaría bien para el potencial



de Coulomb; este varía a 0 con suficiente rapidez fuera de una región; hay siempre distribución angular (verificación con el ángulo).

Problema Mostrar que si  $\lambda > 2$  la distribución es siempre independiente del ángulo (no vale en el caso de Born).

Para una colisión protón-neutrón  $r = 1,6 \cdot 10^{-13}$  cm.

6. ¿Qué energías se necesitan para notar en este caso una distribución angular?

Sólo hay un caso en el cual aún siendo  $\lambda > 2$  hay una distribución que depende del ángulo y es el caso de la ley.

Otra demostración más intuitiva de la ecuación de Schrödinger

En primer lugar consideremos el caso de partículas libres. La función de onda es la amplitud total para ir a un punto (cuálquiera haya sido la posición de la partícula a un tiempo previo determinado).

$$\epsilon \stackrel{t+\epsilon}{\rightarrow} \gamma$$

La amplitud para llegar de  $t$  a  $t+\epsilon$  es  $e^{\frac{i}{\hbar} S(\dots)}$  o más exactamente  $e^{\frac{i}{\hbar} \epsilon L\left(\frac{x-\gamma}{\epsilon}, \frac{x+\gamma}{2\epsilon}, t\right)}$

$$\psi(x, t+\epsilon) = \frac{1}{A} \int e^{\frac{i}{\hbar} \epsilon L\left(\frac{x-\gamma}{\epsilon}, \frac{x+\gamma}{2\epsilon}, t\right)} \psi(\gamma, t) d\gamma$$

$\gamma$  son las coordenadas al tiempo  $t$ ,  $\gamma$  al tiempo  $t+\epsilon$ . Para simplificar nos reducimos al caso unidimensional.

$$V=0; L = \frac{m\dot{x}^2}{2} = \frac{m(x-\gamma)^2}{2\epsilon}$$

$$\psi(x, t+\epsilon) = \frac{1}{A} \int e^{\frac{i m}{2\hbar} \frac{(x-\gamma)^2}{\epsilon}} \psi(\gamma, t) d\gamma$$

La influencia? La mayor contribución provendrá de las cercanías  $\gamma=x$  (debemos esperar una ecuación diferencial)?

$$\psi(x, t+\epsilon) = \frac{1}{A} \int e^{\frac{i m}{2\hbar} \frac{\eta^2}{\epsilon}} \psi(x+\eta, t) d\eta; \eta=\gamma-x$$

$$\psi(x+\eta, t) = \psi(x, t) + \eta \psi'(x, t) + \frac{\eta^2}{2!} \psi''(x, t) + \dots$$

$$\psi(x, t+\epsilon) = \frac{1}{A} \int e^{\frac{i m \eta^2}{2\hbar \epsilon}} \left[ \psi(x, t) + \eta \psi' + \frac{\eta^2}{2!} \psi'' + \dots \right] d\eta$$

El término lineal en  $\eta$  se anula por ser impar.

Podemos usar las fórmulas:

$$\int_{-\infty}^{+\infty} e^{-dx^2} dx = \sqrt{\frac{\pi}{\alpha}}; \int_{-\infty}^{+\infty} e^{-dx^2} x^2 dx = \frac{\sqrt{\pi}}{\sqrt{\alpha^3}} = \frac{1}{2\alpha} \left( \sqrt{\frac{\pi}{\alpha}} \right)$$

Nosotros queremos considerar términos de orden  $\epsilon$  a lo sumo. Se ve que el término en  $\eta^2$  se resuelve con la segunda integral y aparte del factor  $\sqrt{\frac{\pi}{\alpha}}$  es de orden  $\epsilon$  pues  $\alpha$  es de orden  $\frac{1}{\epsilon}$ . El término siguiente, en  $\eta^3$  aparte del factor  $\sqrt{\frac{\pi}{\alpha}}$  contendría un término en  $\epsilon^2$  que desaparecería, etc..

Luego:  $\psi(x, t+\epsilon) = \frac{\sqrt{\frac{2\pi m \epsilon}{\hbar}}}{A} \left[ \psi(x, t) + 0 + \frac{1}{2} \frac{1}{2} \frac{2\hbar \epsilon}{-im} \frac{d^2 \psi}{dx^2} \right]$ ; elegimos como otra vez  $A = \sqrt{\frac{-2\pi m \epsilon}{\hbar}}$

$$\eta \text{ deducimos } \left[ \frac{\hbar}{i} \frac{d\psi}{dt} = \frac{\hbar^2}{2m} \frac{d^2 \psi}{dx^2} \right]$$

Si ahora tenemos un potencial  $V$ ,  $L = T - V$ , en la integral que nos daba  $\Psi(x, t+\epsilon)$  debemos agregar el factor  $e^{-\frac{i\epsilon}{\hbar} V(\frac{x+y}{2})}$ , que desarrollado hasta la primera potencia de  $\epsilon$  es  $(1 - \frac{i\epsilon}{\hbar} V(x))$ . Ahora bien  $1 - \frac{i\epsilon}{\hbar} V(\frac{x+y}{2}) \approx 1 - \frac{i\epsilon}{\hbar} V(x)$  ya que  $x$  e  $y$  son muy próximos. Luego ese factor no interviene en el cálculo de las integraciones y desarrollo en serie y haciendo lo mismo que antes llegaremos a:

$$\Psi(x, t+\epsilon) = \left[ \Psi(x, t) - \frac{i\epsilon}{2m} \frac{d^2\Psi}{dx^2} \right] \left[ 1 - \frac{i\epsilon}{\hbar} V(x) \right] =$$

$$\Psi(x, t) - \frac{i\epsilon}{2m} \frac{d^2\Psi}{dx^2} - \frac{i\epsilon}{\hbar} V(x) \Psi(x, t) =$$

$$\boxed{-\frac{\hbar^2 \Psi}{i \partial t} = -\frac{\hbar^2}{2m} \frac{d^2\Psi}{dx^2} + V(x, t) \Psi}$$

Problema Si  $L = \frac{mv^2}{2} + \frac{e}{c} \nabla \cdot A(x, y, z, t) - e \Psi(x, y, z, t)$

$$E = -\nabla \Psi + \frac{dA}{dt}; \quad \vec{B} = \nabla \times \vec{A}$$

mostrar usando el mismo método

$$\boxed{-\frac{\hbar}{i} \frac{\partial \Psi}{\partial t} = \frac{1}{2m} \left( \frac{\hbar}{i} \nabla - \frac{e}{c} \vec{A} \right)^2 \Psi + e \Psi E}$$

símbolo para recordar que significa:

$$\equiv -\hbar^2 \nabla^2 - \frac{\hbar}{i} \frac{e}{c} \nabla \cdot (\vec{A} \Psi) - \frac{\hbar}{i} \frac{e}{c} \vec{A} \cdot \nabla \Psi + \frac{e^2}{c^2} (\vec{A} \cdot \vec{A}) \Psi$$

Esa ecuación no funciona para el electrón pues hay término del mismo orden debido al spin que no se han tomado en cuenta, pero tal vez funcione para algunas partículas sin spin como el mesón  $\pi$  (ceros que dijo esto al final).

### Observaciones sobre la ecuación de Schrödinger

- 1) La mudanza de  $\Psi$  con  $t$  se puede interpretar, observando la ecuación de Schr., como debida a dos contribuciones: scattering por potencial  $(-\frac{i}{\hbar} V dt)$ ; variación por el propio movimiento libre natural  $(-\frac{\hbar^2}{2m} \nabla^2 \Psi)$

### Regla mnemotécnica

Para recordar la ecuación de Schrödinger se escribe:

$$-\frac{\hbar}{i} \frac{\partial \Psi}{\partial t} = H \Psi; \quad H = \frac{p^2}{2m} + V; \quad p = \frac{\hbar}{i} \nabla \quad \text{Esto sólo fun-}$$

~~Este se debe a que por ejemplo, en coordenadas polares, el laplaciano no es igual a  $(\nabla \cdot \nabla)$  donde  $\nabla$  es vector  $\frac{\partial}{\partial r}, \frac{1}{r} \frac{\partial}{\partial \theta}, \frac{1}{r \sin \theta} \frac{\partial}{\partial \phi}$ .~~

ciona para coordenadas rectangulares. Para polares, no.  
Tampoco sirve en el caso relativista.

$$E = \sqrt{m^2 c^4 + p^2} ; \text{ do } -\frac{\hbar}{i} \frac{\partial \Psi}{\partial t} = \underbrace{\sqrt{m^2 c^4 - \hbar^2 c^2 \nabla^2}}_{\text{ii}} \Psi$$

ii) ¿Por dónde nadie sabe lo que significa ese operador!!

### Propiedades

1)  $P(x, t) = \Psi^*(x, t) \Psi(x, t)$

$$\frac{\hbar}{i} \frac{\partial \Psi^*}{\partial t} = -\frac{\hbar^2}{2m} \nabla^2 \Psi^* + V \Psi^*$$

2) Queremos encontrar un vector  $S(x; t)$  tal que

$S_x = \text{prob/seg cm}^2$  que una partícula vaya de izq. a der.  
- prob/seg cm<sup>2</sup> que una " " " der. a izq.

Para que haga conservación debe cumplirse:

$$\left[ \frac{\partial P}{\partial t} = \nabla \cdot S \right]; \text{ Esas funciones existen yes:}$$

$$\boxed{S(x; t) = \frac{\hbar}{2im} (\Psi^* \nabla \Psi - \Psi \nabla \Psi^*)} \text{ a mostrar.}$$

3) Para el tiempo) para un cierto volumen del espacio rodeado por una superficie  $\oint \frac{d}{dt} P dV = \int S \cdot N d\text{superf.}$

Supert.  $N$  es la normal a la superficie.

Si el  $\Psi$  es importante sólo para una limitada región del espacio

$\int P dV = \text{const.}$  Por conveniencia elige

$$\boxed{\int P dV = 1} \text{ Condición de normalización.}$$

Algunas veces no puede decirse, por ejemplo en el caso de la partícula libre:

$$\Psi = C e^{-\frac{iEt}{\hbar}} e^{\frac{iPx}{\hbar}}$$

4) Como la ecuación de Schrödinger es lineal, si  $\Psi_1, \Psi_2$  son soluciones,  $a\Psi_1 + b\Psi_2$  será también solución. Si  $\Psi_1$  representa un estado posible del sistema y  $\Psi_2$  otro estado posible, la superposición es otro estado posible.

5) Basa en que  $V(R, t) = V(R)$ ;  $\Psi(R, t) = e^{-\frac{iEt}{\hbar}} \Psi(R)$

$$-\frac{\hbar}{i} \frac{\partial \Psi}{\partial t} = -\frac{\hbar^2}{2m} \nabla^2 \Psi + V(R) \Psi; \Psi = f(t) \Psi(R)$$

$$E\psi = \left( \frac{\hbar^2}{2m} \nabla^2 + V \right) \psi = H\psi$$

$$\text{Prob} = |\psi|^2 = |\psi(R)|^2$$

$$\text{Una solución es } \psi_1 = e^{-\frac{i}{\hbar} E_1 t} \psi_1(R)$$

$$\psi_2 = e^{-\frac{i}{\hbar} E_2 t} \psi_2(R)$$

Si estos son los estados posibles para hallar la probabilidad tenemos  $|c_1 \psi_1 + c_2 \psi_2|^2$

Para estados estacionarios en que el potencial no depende del tiempo  $[E\psi = H\psi]$

Resolveremos la ecuación de Sch. para una part. a 1 dimensión con energía definida. Si nos a 1 dimensión no existe, pero se entienden en ello las ideas finas y más o menos sencillas de resolución.  $E\psi = -\frac{\hbar^2}{2m} \frac{\partial^2 \psi}{\partial x^2} + V(x) \psi$  (Estado estacionario)

1) Partícula libre

$$E\psi = -\frac{\hbar^2}{2m} \frac{\partial^2 \psi}{\partial x^2}$$

Si tomáramos  $\psi = A e^{kx}$ :  $E = -\frac{\hbar^2}{2m} k^2$ , la probabilidad relativa de hallarla en algún lugar  $|\psi|^2 = |A|^2 e^{2kx}$  crecería al aumentar la distancia. Esto podría ser si muy lejos ( $x \rightarrow \infty$ ) tuviéramos un potencial que justificase ese aumento de probabilidad; pero en el caso de la partícula absolutamente libre, esa solución no puede existir.

$$\text{Si hacemos } \psi = A e^{ikx} \quad E = \frac{\hbar^2 k^2}{2m}$$

$$\text{prob. } |\psi|^2 = |A|^2 = \text{cte}$$

Esta función de onda representa una partícula que va de derecha a izquierda, para verlo

$$S_x = \frac{\hbar}{2mi} (\psi^* \nabla \psi - \psi \nabla \psi^*) = \frac{\hbar}{2mi} (\psi^* \nabla \psi - \psi \nabla \psi^*) = \frac{\hbar k}{m} (\psi \psi^*) = \frac{\hbar k |A|^2}{m}$$

y la velocidad de translación sería  $\frac{\hbar k}{m} = p_m$ , equivalente a la velocidad clásica.

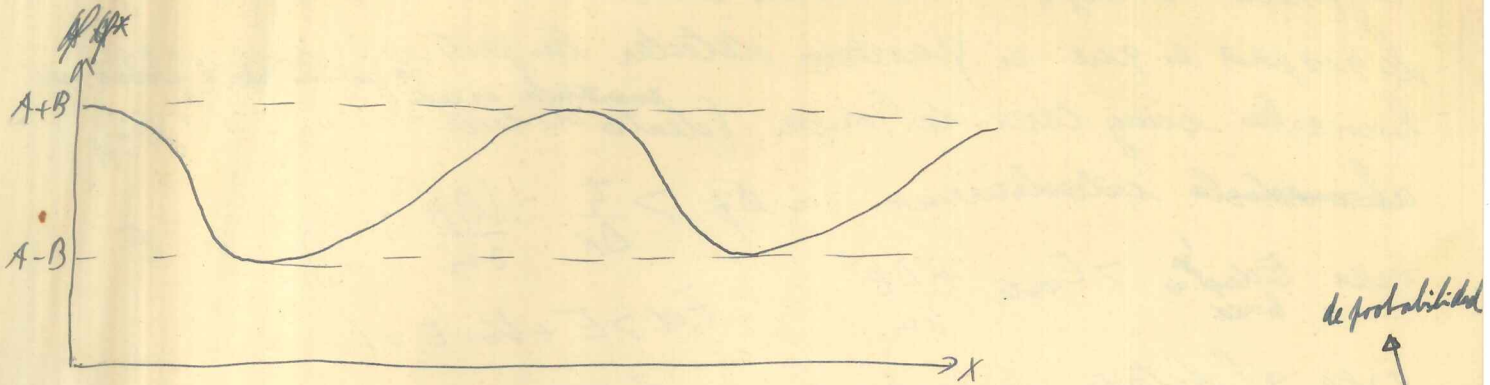
Para una partícula que va de derecha a izquierda, habrá que tomar  $\psi = B e^{-ikx}$

Cuando para una energía  $E$ , existe más de una solución diremos que la soluc. es degenerada

$$\text{La soluc. para energía } E \text{ es } \psi = A e^{ikx} + B e^{-ikx}$$

$$|\psi|^2 = |A|^2 + |B|^2 + A^* B e^{-2ikx} + B^* A e^{2ikx} \quad \text{y si } A, B \text{ reales}$$

$$|\psi|^2 = A^2 + B^2 + 2AB \cos kx$$



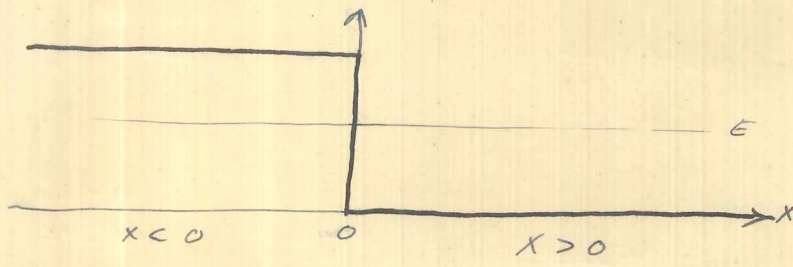
Se demuestra

$$S = \frac{t_1}{m} k / (|A|^2 - |B|^2)$$

Es evidente que  $S$  debe ser indep. de  $x$ , ya que en caso contrario habría regiones de las cuales solo una figura del que entra (o viceversa) y con ello违反 la demanda <sup>con el tipo</sup> de que dicha región no siendo con ello estacionaria el fenómeno.

La idea que la probabilidad varía con la distancia es extraña lo que para los que moren la probab. de las dos alternativas para hallar la partic.  $\leftarrow, \rightarrow$  nio las respectivas amplitudes.

2º) Estadaremos el caso



$$x > 0 : -\frac{t_1^2}{2m} \psi'' + 0\psi = E\psi \Rightarrow \psi_A e^{ikx} + \psi_B e^{-ikx}$$

$$x < 0 : -\frac{t_1^2}{2m} \psi'' + V_0 \psi = E\psi \Rightarrow \psi_C e^{-kx} + \psi_D e^{kx}$$

$$\text{donde } K = \sqrt{\frac{2m}{t_1^2} (V_0 - E)}$$

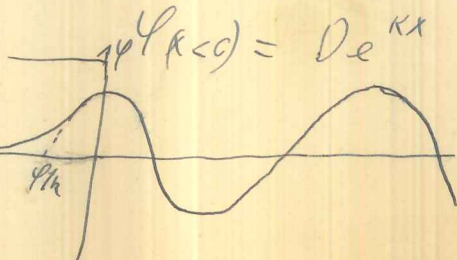
Por lo pronto  $C = 0$ , pero que la probab. no crezca indefinidamente con la distancia. Para determinar las otras constantes, supondremos que  $\psi$  y  $\psi'$  sean continuas en el origen. De este modo?

$\psi$  será continua ( $\perp$ ),  $\psi'$  tendrá la forma  $\perp$ , y  $\psi''$   $\perp$  de tal modo que la discontinuidad de  $\psi''$  podrá eliminar la eq. ecuaci. de Schr., con la condic. de  $V$ .

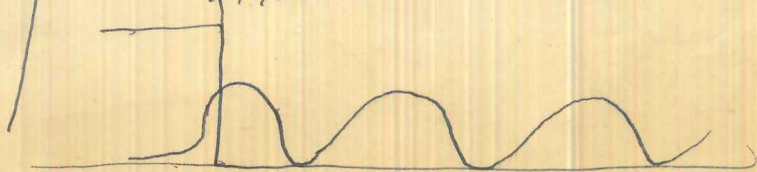
$$\psi \Rightarrow A + B = 0 \quad ; \quad \psi' \text{ cont} \Rightarrow ikA - ikB = KD$$

En resumidas cuentas tenemos 2 ecuac. con 3 incognit. <sup>de donde</sup> con 3 incognit., luego podremos despejar <sup>despejar</sup> todas ellas en función de la otra, que queda como constante arbitraria.  $A = \frac{D}{2} (1 - \frac{iK}{k})$ ;  $B = \frac{D}{2} (1 + \frac{iK}{k})$ ;  $|A|^2 = |B|^2$

$$\psi_{(x>0)} = D \cos kx + \frac{K}{k} D \sin kx = F \sin(kx + \phi) \quad \left| \begin{array}{l} F = D \sqrt{1 + \frac{K^2}{k^2}} \\ \phi = K/k \end{array} \right.$$



cuando  $D$  real



¿Qué pasa con la energía de las partículas que encontramos a la izquierda del origen? Parecería tener una energía cinética negativa.

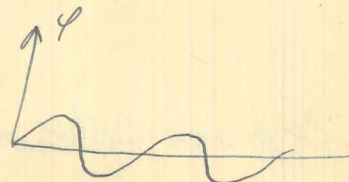
Lo que pasa es que si queremos detectar las partículas ~~que van más allá~~ de encontrarla en cada caso ~~que no sea probab.~~ de búsquedas muy cerca del origen (dentro de una distancia  $\Delta x \approx \frac{1}{k}$ ):

al introducirlas con  $\Delta p > \frac{\hbar}{\Delta x} \therefore \frac{(\Delta p)^2}{2m} > \frac{\hbar^2 k^2}{2m} = V_0 - E$

o sea  $E_{detected}^{med.} > E_{antes} + \frac{(\Delta p)^2}{2m} ; E_d > E + V_0 - E = V_0$ ?

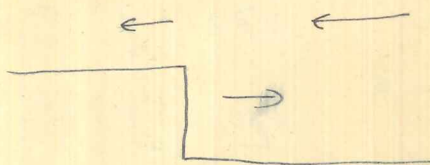
O sea al detectar la partícula la hallaremos con energía cinética positiva; sin embargo, no la midiremos <sup>no</sup> salvo donde esté la ley 1 cierta probab que tenga  $E_c < 0$

$$L: V_0 \rightarrow \infty \quad U(0) \rightarrow 0$$



### Problema

¿Qué pasa si  $E > V_0$ ?



I must solve the simult. eqs.

$$\sqrt{\frac{E}{V_0}} = \sin \varphi$$

$$ka + 2\varphi = n\pi$$

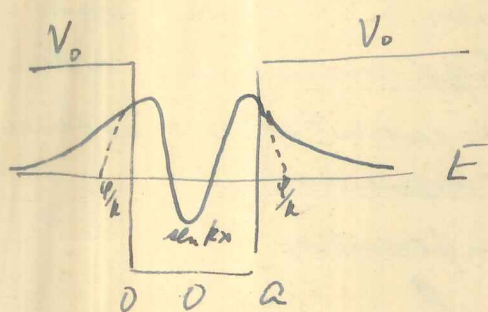
$$d = \sqrt{\frac{2m}{\hbar^2}} a + 2\varphi = n\pi$$

dividing:

$$\sqrt{\frac{2m}{\hbar^2}} a = \frac{n\pi - 2\varphi}{\sin \varphi} \therefore \sin \varphi = \frac{n\pi - 2\varphi}{\sqrt{\frac{2m}{\hbar^2}} a}$$

$$y = \sqrt{\frac{2m}{\hbar^2}} a \quad \text{For each } n, \text{ this determines } \varphi.$$

Una característica esencial en los problemas estacionarios de Schrödinger es que la energía sólo puede tomar ciertos valores especiales para que el problema se satisfaga. Veamos un ejemplo.

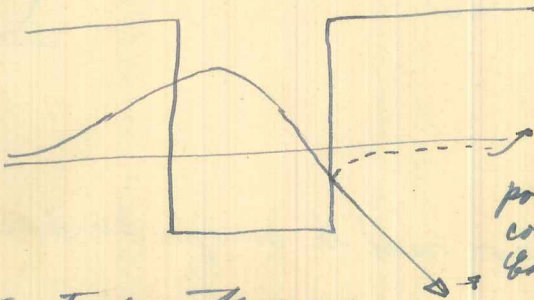
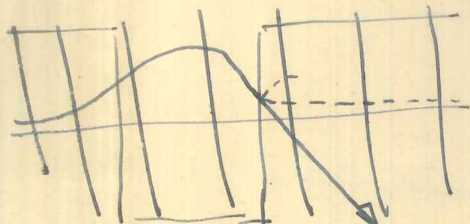


En la primera parte asciende exponencialmente, se comporta luego como seno y luego desciende exponencialmente.

En Mec. Clásica, en general, la energía puede tomar cualquier valor, eventualmente, encima de una constante. Si elegimos otro

valor de la energía en el mismo

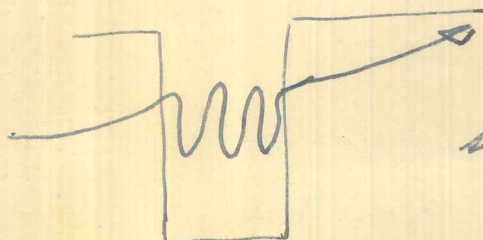
problema cuántico puede ser que no tengamos solución. Por ejemplo aumentando la energía:



Esta solución no puede ser tomada por cuestiones de continuidad.

Esta solución no tiene

Puede ser que ~~aumentando~~ la energía tampoco tengamos solución:



La ondulación de fase está dada por  $kx + 2\varphi = n\pi$ .

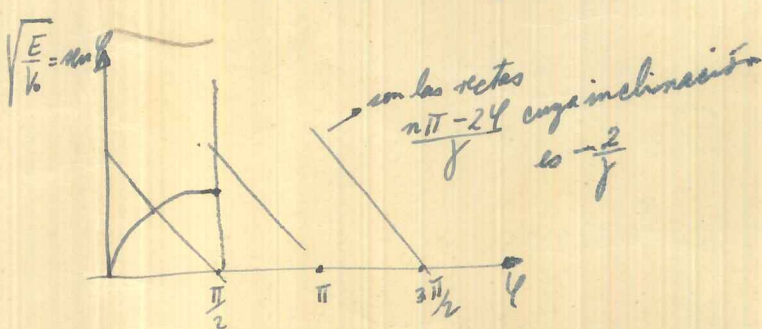
$$\text{Tenemos } \operatorname{tg} \varphi = \frac{k}{K}; \quad k = \sqrt{\frac{2m}{\hbar^2} E}; \quad K = \sqrt{\frac{2m}{\hbar^2} (V_0 - E)}$$

$$\sin \varphi = \frac{k}{K} = \frac{\sqrt{\frac{E}{V_0 - E}}}{\sqrt{1 + \frac{E}{V_0 - E}}} = \frac{\sqrt{\frac{E}{V_0}}}{\sqrt{1 + \frac{E}{V_0}}} = \sin \varphi$$

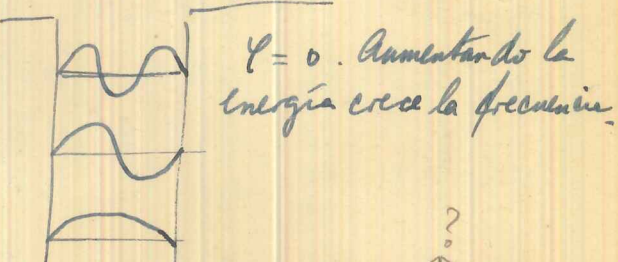
$$\frac{\hbar^2 k^2}{2m} = E \quad \text{Definimos } \gamma: \sin \varphi = \sqrt{\frac{E}{V_0}} = \frac{kx}{\gamma} \quad \therefore \gamma = \sqrt{\frac{2m V_0}{\hbar^2}} x. \quad \text{Nuestra ecuación}$$

$$kx + 2\varphi = n\pi \quad \text{funda: } \gamma \operatorname{an} \varphi + 2\varphi = n\pi \quad \therefore \operatorname{an} \varphi = \frac{n\pi - 2\varphi}{\gamma}$$

Resolvemos esta ecuación gráficamente.



$$\text{Para } V_0 = \infty \quad \sin \varphi = \sqrt{\frac{E}{V_0}} = 0 \quad \therefore \varphi = 0$$



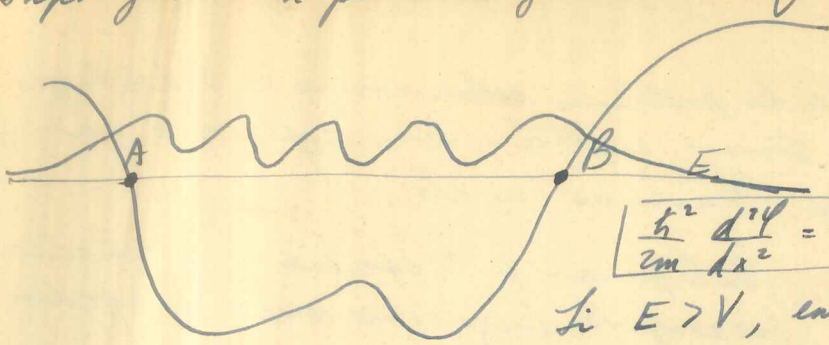
$\varphi = 0$ . Aumentando la energía crece la frecuencia.

Cuando  $V_0 \rightarrow 0$ ,  $\gamma \rightarrow 0$ : las inclinaciones de las rectas tienden a  $\infty$ .

En el gráfico sólo consideramos el uno en el primer cuadrante. La solución  $\varphi = 0$  no tiene sentido físico, salvo en el caso en que  $V_0 = \infty$ , en cuyo caso todas las rectas dibujadas se confunden con el eje  $\varphi$ . Para  $V_0 = 0$ , las rectas tienen  $\infty$  inclinación y hay una solución  $\sin \varphi = \frac{\pi}{2}$ . En una dimensión hay siempre niveles energéticos. En 3 dimensiones pue de no haberlos.

Supongamos un potencial general.

Claramente la partícula solo podrá andar entre A y B.



$$\frac{\hbar^2}{2m} \frac{d^2\psi}{dx^2} = -(E-V)\psi$$

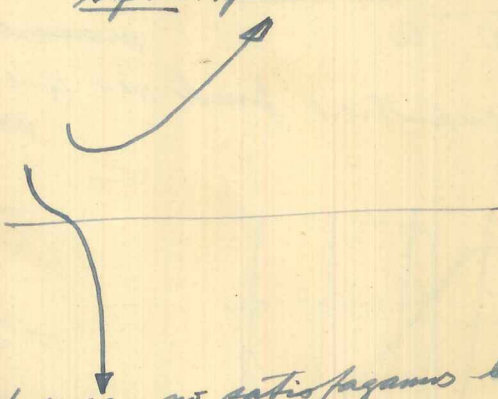
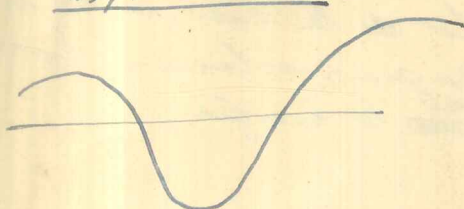
Si  $E > V$ , entonces  $\psi''$  y  $\psi$  tienen signo

opuesto: las curvas  $\psi$  y resultantes son de tipo sinusoidal es decir concavas hacia el eje.

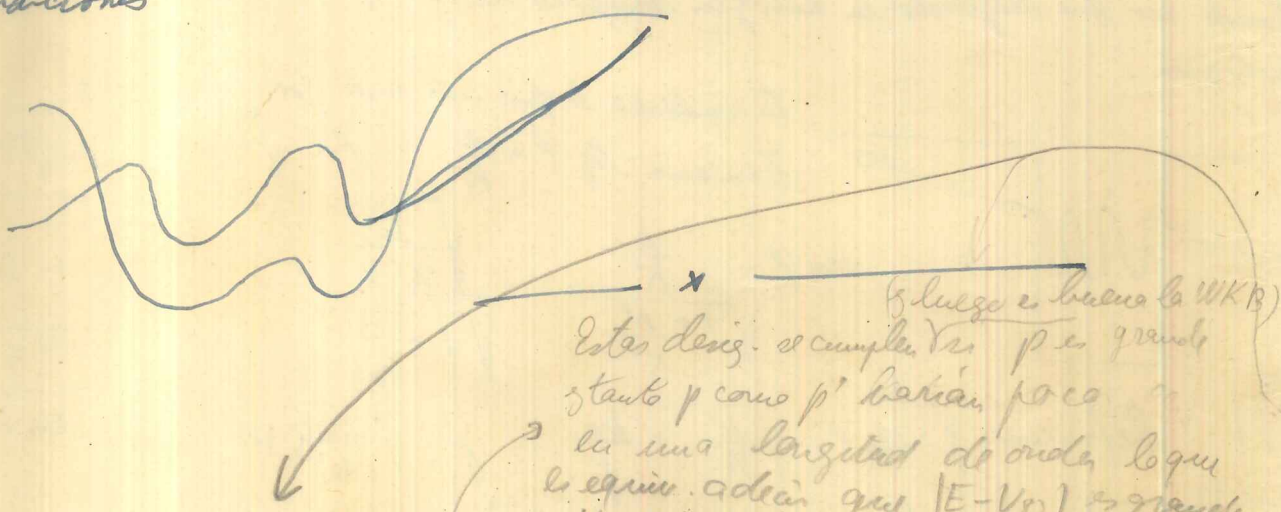
tipo sinusoidal

Si  $E < V$ , las curvas  $\psi$  son convexas hacia el eje, tipo exponencial.

tipo exponencial



Si elegimos mal la energía puede ser que no se satisfagan las dos condiciones



{  
Estos desig. o cumplirlos p' los grandes  
y tanto p' como p' varían poco  
en una longitud de onda, lo que  
es curioso. Adén que  $|E-V_0|$  es grande  
 $\Rightarrow V \approx V'$  verán poco la R}

Una manera de ver la aprox. de W.K.B es: Si  $V=cte$  sería indicado  
decir  $\Omega = \int \sqrt{2m(E-V)} dy$  si  $V$  no es una constante (pero lent. variable)  
para tener  $\Omega = \Omega_0 + t \Omega_1$   $d\Omega_0 = \int \sqrt{2m(E-V_0)} dy$  (Hasta las bds  
en regiones)

Reempl. en  $\frac{1}{2m} \left( \frac{d\Omega}{dx} \right)^2 - it \frac{d^2\Omega}{dx^2} = E - V(x)$  tendríamos

$$it \frac{d\Omega_0}{dx} d\Omega_1 - it \frac{d^2\Omega_0}{2m dx^2} + \frac{1}{2m} \left( \frac{d\Omega_1}{dx} \right)^2 - it^2 \frac{d^2\Omega_1}{2m dx^2} = 0$$

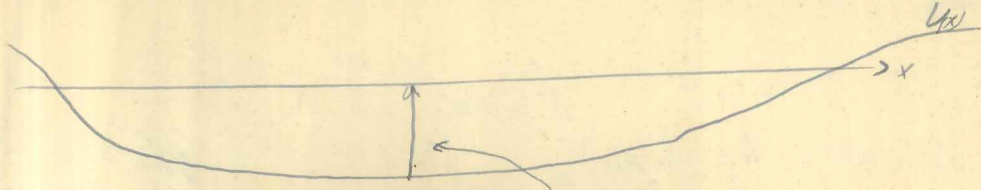
Al despreciar los últimos dos términos se obtiene  $\Omega_1 \approx -i \frac{p}{\hbar}$ , pero para despreciarlos debe cumplirse todo, &

$$\frac{d\Omega_0}{dx} \ll \frac{d^2\Omega_0}{dx^2}$$

Reempl. la relación  $\Omega_0$  y  $\Omega_1$  se obtiene  
 $\Rightarrow t \frac{p''}{p} - \frac{1}{p} \approx \frac{p(x+1) - p'(x)}{p'^2} - \frac{t}{p} \ll 1$

$$\frac{t}{p} p' \ll p \Rightarrow \frac{t}{p} \approx \frac{p(x+1) - p_0}{p'^2} \ll 1$$

Queremos ahora obtener la solución del caso concreto que tuviéramos un potencial del tipo de la figura



podriamos esperar que <sup>acabado</sup> la partícula esténdiese cerrada por un momento  $P_0 = \sqrt{2m(E - V_0)}$  y  $\Psi_0 = e^{\frac{i}{\hbar} P_0 x}$

Vemos que esto será válido cuando  $V$  sea poco en una longitud de onda.

Procederemos en forma un poco más general, escribiendo

$\Psi = e^{\frac{i}{\hbar} P_0 x}$  tendremos que la energía definida por

$$\frac{\sigma(x+\lambda)}{\hbar} = \frac{\sigma(x)}{\hbar} + 2\pi \quad \therefore \quad \frac{\sigma(x+\lambda) - \sigma(x)}{\hbar \lambda} = \frac{2\pi}{\lambda} \approx \frac{1}{\hbar} \frac{d\sigma(x)}{dx}.$$

$$\text{o sea } \frac{d\sigma}{dx} = \frac{p}{\lambda} = p$$

(Esto es un poco más general que la forma  $\Psi_0 \propto e^{\frac{i}{\hbar} P_0 x}$  que involucra decir  $\frac{\sigma}{x} = p$  en lugar de  $\frac{d\sigma}{dx} = p$ )

Tendremos

$$\sigma(x) = \int_{-\infty}^x \sqrt{2m(E - V(y))} dy$$

si adoptamos la forma clásica de  $p$ .

Comenzaremos sacando  $\Psi = e^{\frac{i}{\hbar} P_0 x}$  con la idea que  $t$  es grande pero lentamente variable.

$$\frac{d\Psi}{dx} = \frac{i}{\hbar} \frac{d\sigma}{dx} e^{\frac{i}{\hbar} P_0 x} \quad ; \quad \frac{d^2\Psi}{dx^2} = \frac{i}{\hbar} \frac{d^2\sigma}{dx^2} e^{\frac{i}{\hbar} P_0 x} - \frac{1}{\hbar^2} \left( \frac{d\sigma}{dx} \right)^2 e^{\frac{i}{\hbar} P_0 x}.$$

$$\frac{1}{2m} \left( \frac{d\sigma}{dx} \right)^2 - \frac{i}{2m} \frac{d^2\sigma}{dx^2} = (E - V_0)$$

Si suponemos  $t$  mucho menor que las demás cosas  $\frac{d^2\sigma}{dx^2} \ll \frac{d\sigma}{dx}$  formuló  $\sigma = \sigma_0 + t\sigma_1 + t^2\sigma_2 + \dots$

en la anterior ecación y no considerando los términos que contiene  $t$  tendremos en 1º aper.  $\frac{1}{2m} \left( \frac{d\sigma_0}{dx} \right)^2 = E - V_0$

Substituyendo nuevamente  $\sigma = E + \sigma_0$  en  $\frac{1}{2m} \frac{d\sigma}{dx} - \frac{i}{2m} \frac{d^2\sigma}{dx^2} = E - V_0$  y despreciando los cuadrados y potencias superiores de  $t$

$$\text{tene } \frac{i}{m} \frac{d\sigma_0}{dx} \frac{d\sigma_1}{dx} - \frac{i}{2m} \frac{d^2\sigma_0}{dx^2} = 0$$

$$\frac{d\sigma_1}{dx} = \frac{i}{2} \frac{d(\sigma_0)}{dx} \quad : \quad \sigma_1 = \frac{i}{2} \ln(p(x) \cdot \sigma_0)$$

que no interesa

de llamamos  $p(x) = \frac{d\sigma_0}{dx}$

sintetizando  $\sigma = \sigma_0 + \sigma_1$  (Aprox. W.K.B.)

$$Q = A e^{\frac{i}{\hbar} \left( \sigma_0(x) + \frac{1}{2} \ln(p(x)) \right)} = \frac{A}{\sqrt{2m(E-V(x))}} e^{\frac{i}{\hbar} \int_{x_0}^x \sqrt{2m(E-V(y))} dy}$$

que hace  $\frac{d\sigma_0}{dx} = \sqrt{2m(E-V(x))}$   
o sea admite la igualdad  
 $\frac{d\sigma_0}{dx} = p$  en el caso de la  $\sigma_1$  en 1<sup>er</sup> aprox.

$$= \frac{A}{\sqrt{V_p}} \exp \left[ \frac{i}{\hbar} \int_{x_0}^x p(y) dy \right]$$

Con dos soluciones: provenientes de  $\pm \sqrt{V_p}$  o sea

$\left( \pm \frac{i}{\hbar} \int V \right) \exp \left[ \pm \frac{i}{\hbar} \int V \right] f(y)$  en gen. habrá que considerar una combinación lineal

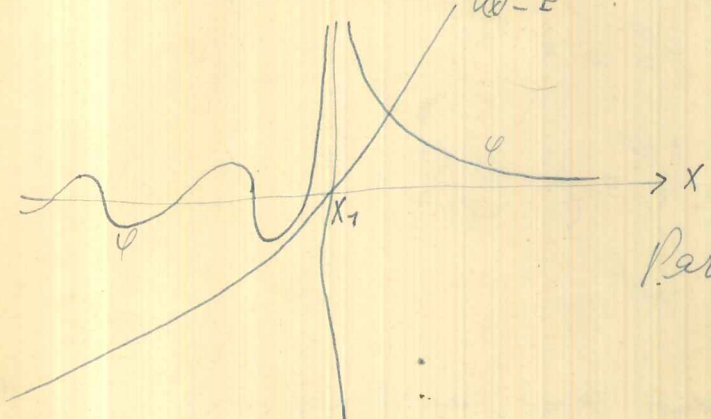
$$|\Psi|^2 = \frac{A^2}{V_p} \frac{dx}{x} \frac{dx}{V(x)}$$

cosa lógica clásicamente  
ver mi explic.

para que sea aplicable la aprox. W.K.B el factor  $\frac{A}{\sqrt{V_p}}$   
no debe variar mucho en una longitud apropiada.

Si  $E > V(x)$  obtendré una función oscilatoria y si  
 $E < V(x)$  puede obtenerse una exponencial con corriente  
cambiantes combinaciones lineales de las dos soluciones,

L.



La W.K.B. se aplica

cuando  $x = x_1$ ; allí

$$E = V \quad \text{será} \quad \frac{A}{\sqrt{V_p}}$$

Comiendo con

lo que demostro

$$\Psi = \frac{A}{\sqrt{2m(E-V_p)}} \exp \left[ - \int_{x_1}^x \sqrt{2m(V_p-E)} dy \right]$$

L.  $x < x_1$

$$\Psi = \frac{A}{\sqrt{2m(E-V_p)}} 2 \cos \frac{1}{\hbar} \int_{x_1}^x \sqrt{2m(E-V_p)} dy + \frac{A}{\sqrt{2m(E-V_p)}}$$

Problema: Muestra por qué aparece el  $\frac{\pi}{4}$  debería ser = E

Dos casos particulares

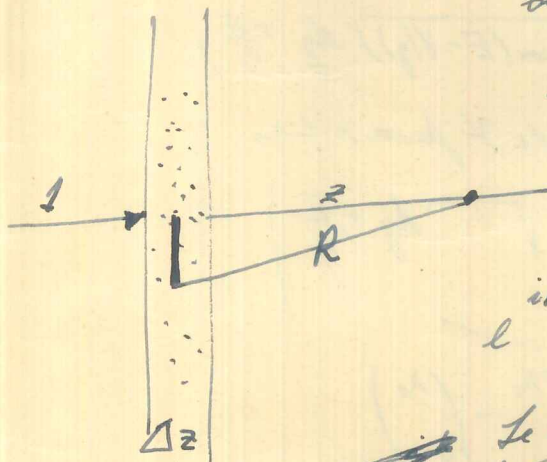
$$-\frac{\hbar^2}{2m} \frac{d^2\Psi}{dx^2} + kx \Psi = 0$$

Puede verlo.  
exact. sol de la  
ecuación de Schrödinger

Véase para  $x$  grande la solución se acerca bastante bien a la W.K.B.  
Para valores también se acerca bastante bien (no seguro).

Pregunta: en el caso de ~~un~~ potencial constante, si definimos el coeficiente de reflexión como  $|B|^2$  y el de transmisión como  $|C|^2$ , no se obtiene igualdad. Esto se debe a que el coeficiente de reflexión y el de transmisión deben ~~aparentemente el coeficiente de~~ medir las energías que pasan por  $\text{cm}^2$  y por segundo y no la probabilidad de encontrarse en una región. En la zona II tenemos una velocidad  $v_2 < v_1$ . Las energías reflejadas y transmitidas serán respectivamente  $|B|^2 v_1 / |C|^2 v_2$  y esto debe ser igual, es decir  $|B|^2 v_1 = |C|^2 v_2$ .

### Ejemplos de cálculo aparte



Tendremos una solución de la forma:

$$\frac{e^{ikr}}{r} f(\theta) + \frac{e^{ikz}}{r} f(\theta) \rightarrow F(0)$$

La amplitud que llega directamente por  $\text{cm}^3$  será:  $\frac{1}{\pi r^2} \text{ de est. por cm}^3$

$$e^{ikz} + \int \frac{e^{ikr}}{R} f(0) N \Delta z 2\pi p dp$$

~~Se supone que todas las deflexiones son casi de ángulo 0 de modo que en lugar de  $f(\theta)$  tenemos  $F(0)$ ;~~

$$= e^{ikz} + 2\pi N \Delta z F(0) \int \frac{e^{ik\sqrt{p^2+z^2}}}{\sqrt{p^2+z^2}} p dp = e^{ikz} \left( 1 - \frac{2\pi N(\Delta z) F(0)}{ik} \right)$$

Podemos siempre imaginar que  $F(0)$  decrece rápidamente al aumentar  $R$  o que la densidad de la materia de la chapa decrece al alejarnos del punto de incidencia. También se ha supuesto que  $\Delta z$  es muy grande frente a la distancia interatómica y muy pequeño frente a la longitud de onda de la partícula incidente de modo que todo los átomos que están a una distancia  $R$  contribuyen igualmente al scattering.

Podemos imaginar que ~~esta~~ esa materia tiene un índice de refracción  $n$ ;  $t_{\text{mat}} = \frac{1}{n}$ ;  $t_{\text{vac}} = \frac{1}{k}$ ;  $e^{ikz} = e^{ik(n-1)\Delta z}$  es la retardación =  $e^{ik(n-1)\Delta z}$ . Si no hay materia tendremos  $e^{ikz}$ ; la relación sera  $e^{ik(n-1)\Delta z} = e^{ikz} / (1 + ik(\Delta z)(n-1))$

Tendremos  $e^{ikz} / (1 + ik(\Delta z)(n-1))$

$$\therefore (n-1) = \frac{2\pi N F(0)}{k^2} \quad \text{este } F(0) \text{ en general no es real.}$$

Si  $n$  es complejo representa un decremento de la amplitud (absorción).

$$\text{absorción por cm} = k \frac{2\pi N}{k^2} I(F(0))$$

La amplitud que va afuera:

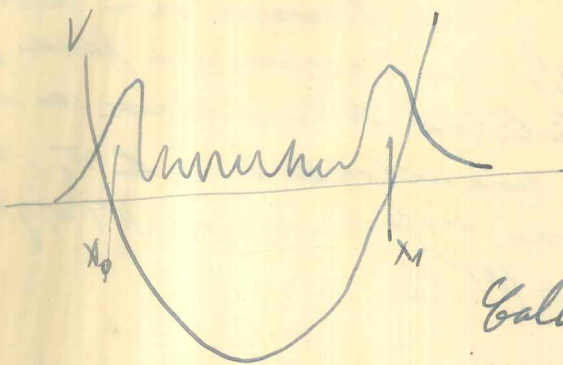
Tener en el  $\frac{A}{h}$ .

$$\int [A'(y)]^2 dy = 2\pi \operatorname{Im} A(0) \quad A(0) \text{ es de orden primero del potencial; } |A(y)|^2 \text{ es de segundo orden en } V \text{ (es por eso que no se entiende con la aproximación de Born).}$$

No hay materia que pueda absorber sin laser scattering.

Lleguemos con el método W.K.B.

Vimos que para  $x > x_1$ ;  $\psi = \frac{A'(\text{real})}{\sqrt{2m(E-V)}} e^{-\frac{1}{h} \int_{x_1}^x \sqrt{2m(V-E)} dy}$   
no importa que  $A'$  sea real.



$$\text{para } x < x_1; \psi = \frac{2A}{\sqrt{2m(E-V)}} \cos \left( \frac{1}{h} \int_{x_1}^x \sqrt{2m(E-V)} dy + \frac{\pi}{4} \right)$$

Calculando exactamente por el mismo método

$$\text{para } x < x_0: \psi = \frac{A'}{\sqrt{2m(V-E)}} e^{-\frac{1}{h} \int_x^{x_0} \sqrt{2m(V-E)} dy}$$

$$\text{para } x > x_0: \psi = \frac{2A'}{\sqrt{2m(E-V)}} \cos \left( \frac{1}{h} \int_{x_0}^x \sqrt{2m(E-V)} dy + \frac{\pi}{4} \right)$$

Ahora bien,  $\psi$  para  $x > x_0$  debe ser igual a  $\psi$  para  $x < x_1$ .

$$\frac{1}{h} \int_x^{x_1} \sqrt{-} dy + \frac{\pi}{4} = n\pi \pm \left( \frac{1}{h} \int_{x_0}^{x_1} \sqrt{-} dy + \frac{\pi}{4} \right)$$
$$\sqrt{-} = \pm \left( \int_{x_0}^{x_1} - \int_x^{x_1} \right)$$

Nota:  $A = A'$  porque para  $x > x_0$  tienen igual signo, pero  $A'$  no iguala  $A$ , para  $x < x_1$ .  
Es complejo.

Si tomamos el signo + habrá algo incomprendible pues por un lado quedaría una función de  $x$  igual a una constante. Tomando el signo - se ve la función de  $x$  y así puede determinarse  $n$ . Queda:

$$\int_{x_0}^{x_1} \sqrt{2m(E-V)} dy = (n - \frac{1}{2})\pi h \quad n = 1, 2, 3, \dots$$

Conviene observar que para deducir esta fórmula hemos supuesto  $\cos(n\pi - \varphi) = \cos \varphi$  (esto es cierto si  $n$  es par). Si  $n$  es impar tendríamos  $\cos(n\pi - \varphi) = -\cos \varphi$ ; esto se arregla inmediatamente diciendo que si  $n$  es par,  $A' = A$ ; y si  $n$  es impar  $A' = -A$ , llegándose siempre a la fórmula dada.

La fórmula recuadrada de un método aproximado para determinar los autovalores de energía: tentando diferentes  $E$  y viendo si se satisface. Ya Sommerfeld tiene esa fórmula para determinar  $E$ . Esta fórmula es exacta para el oscilador armónico y para el atomo de hidrógeno si olvidamos el  $\frac{1}{2}$ . Pero la autofunción no es exacta para el oscilador armónico.

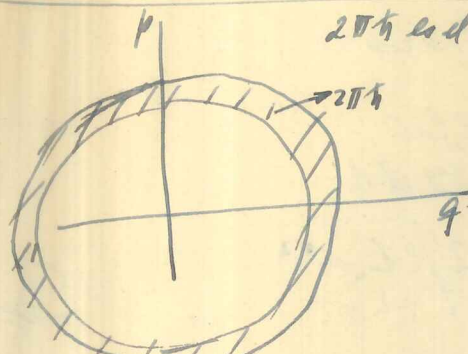
Este método es en general bueno si el número de oscilaciones de la autofunción es grande. En el dibujo representativo del potencial, el W.K.B., da bien la función de onda por el centro pero no vale lo visto al No. 981.

La fórmula obtenida puede escribirse en la forma:

$$\boxed{pdq = 2\pi h (n - \frac{1}{2})}$$

Área en el espacio de los estados.

Si el número de oscilaciones es muy grande, en una aproximación sencilla podemos decir cuantos estados hay en un área.



2 $\pi$ h es el área entre los estados.

Problema: Resolver el caso con  $V = -\frac{e}{r}$ ;  
 $q \rightarrow 0$  como  $x$  para  $r \rightarrow \infty$ .  
 Hallar  $E_n$  y comparar con N.T.B.

$$\left( -\frac{\hbar^2}{2m} \frac{d^2\psi}{dx^2} + V_{(n)} \psi \right) = -\frac{\hbar}{i} \frac{d\psi}{dt}; \text{ V es indep. de } t.$$

$$\boxed{H\psi = -\frac{\hbar}{i} \frac{d\psi}{dt}}; \text{ Una solución especial es } \psi = e^{-\frac{iE_nt}{\hbar}} \varphi_n(x)$$

$$\boxed{H\varphi_n = E_n \varphi_n}$$

La solución general es una combinación lineal de soluciones especiales.

$$\boxed{\psi = \sum_n c_n \varphi_n(x) e^{-\frac{iE_nt}{\hbar}}} \quad \begin{array}{l} \text{Algunas veces } E \text{ es continua y el símbolo} \\ \text{se reemplaza por una integral.} \end{array}$$

$$P(x, t) = \sum_m \sum_n c_m^* c_n \varphi_n^*(x) \varphi_m(x) e^{i(E_n - E_m) \frac{t}{\hbar}}$$

La probabilidad muda con el tiempo y tiene frecuencias fijas por diferencias de energías (es independiente de una constante absoluta).

$$\int P(x, t) dx = 1 = \sum_m \sum_n c_m^* c_n e^{\frac{i}{\hbar}(E_n - E_m)t} \int \varphi_n^* \varphi_m dx$$

¿Cómo puede ser que el miembro izquierdo sea constante (=1) y el derecho dependa del tiempo? La clave:

$$\boxed{\int \varphi_n^*(x) \varphi_m(x) dx = 0 \quad \text{si } m \neq n} \rightarrow \text{Muy importante.}$$

Ley de ortogonalidad (suma)

$$\int P(x, t) dx = \sum_n c_n^* c_n \int \varphi_n^* \varphi_n dx = \sum_n c_n^* c_n$$

Por conveniencia se toma  $\boxed{\int \varphi_n^* \varphi_n dx = 1} \rightarrow$  Normalización (conveniencia).

Interpretación:  $|c_n|^2$  es la probabilidad que el sistema tenga energía  $E_n$ .

$$P(x, t) = \sum_n c_n^* c_n \varphi_n^*(x) \varphi_n(x) e^{-\frac{i}{\hbar}(E_n - E_n)t}$$

Supondremos que la energía mantiene relaciones con la frecuencia del movimiento clásico pero que la diferencia de energía ( $E_n - E_m$ ) tiene relaciones con ella (p. ej. un múltiplo de ella)  $\frac{1}{\hbar}(E_{n+1} - E_n) \approx \omega_0$  cuando  $n$  es muy grande.

V.ej. en el oscil. armón.

$$E_n = \hbar \omega_0 (n + \frac{1}{2}), \text{ o sea en este caso } \frac{1}{\hbar} (E_{n+1} - E_n) = \omega_0 \text{ es exacto.}$$

En el caso de fijo de potencial cuadrado  $E_n = \frac{\hbar^2 \mu \pi^2}{2m} n^2$ , el período clásico sería  $\frac{2\pi}{\omega}$  :  $\omega = \frac{2\pi v}{2\pi} = \pi \sqrt{\frac{2E_n}{m}}$

$$\text{pero } E_{n+1} - E_n = \frac{\hbar^2 \pi^2 (2n+1)}{2m^2} \xrightarrow{\text{se desprecia el 1}} \frac{\hbar^2 \pi^2}{2m^2} \frac{2\sqrt{2E_n}}{\hbar^2 \pi^2} = \frac{\pi}{a} \sqrt{\frac{2E_n}{m}}$$

Problema: clásicas  $\frac{1}{\hbar} (E_{n+1} - E_n) \approx \omega_0$  en general si se determinan las  $E$  con W.K.B de acuerdo a la ecuación  $E_{n+1} - E_n \approx E_n - V$

Problema Si  $\psi_n(x) = f(x) R_n(x)$  muestre  $\dot{x} = -\omega_0 \dot{R}_n$  para el oscil. armónico

$$\psi = \sum_n \psi_n(x) e^{-\frac{i}{\hbar} Et} \quad \int \psi_n^* \psi_n(x) dx = \delta_{nn}$$

Lo cu no pueden ser obtenidas a partir del hamilt. sile-  
uente. Calcularíamos lo cu a partir de la condición

$$\text{para } t=0 : \psi_n(x_0) = f(x)$$

$$f(x) = \sum_n \psi_n(x) \quad \therefore (x_0 = \int f(x) \psi_n^* dx)$$

$$\text{Def. } d(x-y) = \sum_n \psi_n(x) \psi_n^*(y)$$

$$\text{Def. } \int \sum_n \psi_n^*(x) \psi_n^*(y) f(x) dx = \sum_n \psi_n^*(y) = f(y) = \int d(x-y) f(x) dx$$

Después de algún tiempo

$$\psi(x,t) = \sum_n \psi_n(x) e^{-\frac{i}{\hbar} Et} = \sum_n \psi_n(x) \psi_n^*(y) f(y) dy e^{-\frac{i}{\hbar} Et}$$

pero  $\psi(x,t) = \int K(x,t; y) f(y) dy$  : si  $H$  no depende del

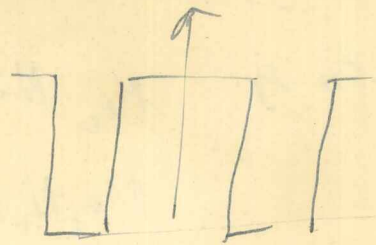
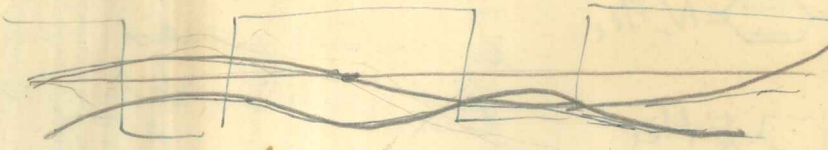
$$\text{tiempo } K_{(x,t)} = \sum_n \psi_n(x_2) \psi_n^*(x_1) e^{-\frac{i}{\hbar} E_n(t_2-t_1)} \quad \begin{array}{l} \text{para } t_2 > t_1 \\ \text{para } t_2 < t_1 \end{array}$$

Problema Verificar  $\left(-\frac{\hbar^2}{i} \frac{\partial}{\partial t} - H_2\right) K_{(x_2, x_1)} = \delta(x_2 - x_1) \delta(t_2 - t_1)$

Las ideas centrales de la interpretación de la fórm. anterior (1) son:  
 1º)  $\psi_n(x) =$  amplitud de estar en  $x$  si la energía es  $E_n$  (al instante  $t=0$ )  
 2º)  $\psi_n^*(x) =$  amplitud de estar en un estado de energía  $E_n$  si la posición es  $x$   
 3º) Para una energía dada, las amplitudes varían con  $e^{-\frac{i}{\hbar} E_n t}$

Resonancia

Consideraremos los casos de menor energía



$$\Psi_{\text{sim}} = (\psi_1 + \psi_2) \frac{1}{\sqrt{2}} ; \quad \Psi_{\text{ant.}} = (\psi_1 - \psi_2) \frac{1}{\sqrt{2}}$$

$\psi_1$        $\psi_2$

$$E_S = E_1 - \Delta \quad E_A = E_1 + \Delta$$

autoaf. con el otro por no existir

Si inicialmente sabemos que  $\Psi = \psi_1$   
 $\Psi(t) = a \Psi_S e^{-i\frac{\omega}{\hbar}t} + b \Psi_A e^{-i\frac{\omega}{\hbar}(E+\Delta)t}$

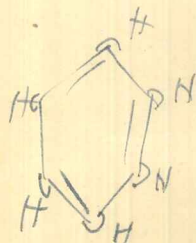
(las otras soluciones no interesarán)  $\Rightarrow$  las correspondientes autovalores

$$\Psi_0 = \Psi_1 = a \Psi_S + b \Psi_A = \frac{1}{\sqrt{2}}(\Psi_S + \Psi_A) \quad \therefore a = b = \frac{\Psi_0}{\sqrt{2}}$$

$$\Psi(t) = \frac{1}{\sqrt{2}}(\Psi_S + \Psi_A) e^{-i\frac{\omega}{\hbar}(E-\Delta)t} + \frac{1}{\sqrt{2}}(\Psi_S - \Psi_A) e^{-i\frac{\omega}{\hbar}(E+\Delta)t} =$$

$$= e^{-i\frac{\omega}{\hbar}t} \left( \cos\left(\frac{\Delta t}{\hbar}\right) \Psi_S + i \sin\left(\frac{\Delta t}{\hbar}\right) \Psi_A \right)$$

Prob. de ser  $\Psi_1 = \cos^2\left(\frac{\Delta t}{\hbar}\right) \quad P_{\Psi_2} = \sin^2\left(\frac{\Delta t}{\hbar}\right) : P_{\Psi_1} + P_{\Psi_2} = 1$

Resonancia

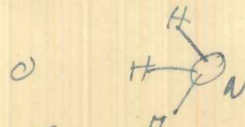
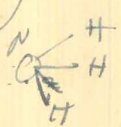
Al sustituir los H por los D  
el sist. puede convertirse en



Todos los C son equivalentes

Dice que lo que pasa es como si la banda del "oxidante"  
y la reag. indicaran ( $\Gamma_m$ ) un perder electrones.  
Lo que pasa es que el autovalor es desgajado (no)

Otro ej. es el  $\text{NH}_3$



para pasar de uno a otro hay

que pasar una barrera. La frecuencia se da por 1,42 cm (bien determin.)

Estos representan el estado

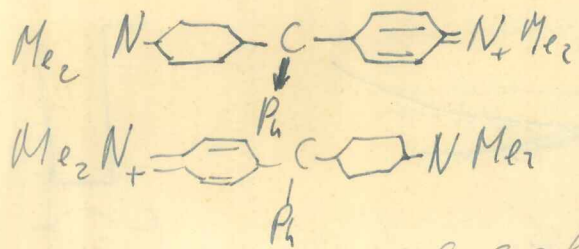
Otro ej.



La energ. del sist. depende de la  
distancia entre el n y el p

La penetración sería (red) del tipo  $\frac{1}{r} e^{-\frac{rc}{a}}$ , fuerza de intercam-  
bio de valores

Otro ej.



La frecuencia del movimiento  
es bastante pequeña (visible)  
Esta alteración de ley produce  
la coloración, hecha casi  
general en la colorante.



pero las profundidades son casi iguales  
munda el color de la substancia.

- 1º) fin, princ. de excl. de Pauli, Relat., Electrod. etc  
2º) Aplicació, cláléc., Óptica, química  
3º) Especies formales

Cruzaremos con el punto ?)

Varias variables

Para determinar la trayectoria de un punto tenemos que dar claramente  $x^{(1)}(t), x^{(2)}(t), \dots, x^{(n)}(t)$ ; ~~este~~ puede ser definido como la trayectoria de un punto en un espacio de  $n$  dimensiones.

$$\text{Amp.} = \sum_{\text{todas las variables}} e^{i S(\text{todas las var.})} = \sum_{x^{(1)}(t)} \sum_{x^{(2)}(t)} \dots \sum_{x^{(n)}(t)} e^{i S(\text{función del sistema})}$$

Si queremos calcular la amplitud para que la configuración representada por  $\cdot$  se convierta en la representada por  $\times$  tendremos:

$$K(x_1^{(1)}, x_2^{(2)}, \dots, x_n^{(n)}, t)$$

Este 2 indica configuración  $\times$  (final). El 1, configuración (inicial).

$$\psi = \Psi(x_1^{(1)}, x_2^{(2)}, \dots, x_n^{(n)}, t)$$

$\psi$  es la amplitud para localizar las partículas en la determinada configuración descrita por las coordenadas, es decir es la amplitud para que la primera se encuentre entre  $x^{(1)}_1$  y  $x^{(1)}_1 + dx^{(1)}$ , la segunda entre  $x^{(2)}_1$  y  $x^{(2)}_1 + dx^{(2)}$ , etc.  $|\psi|^2$  es la probabilidad que las partículas tengan esa posición por unidad de volumen (del espacio  $\times \dots \times$ ). Aquí no hay simetría entre posición y tiempo ya que figuran muchas  $x$  y un solo  $t$ .

Ejemplo: 2 partículas ligadas por un resorte en una línea.

$$L_{\text{cls.}} = \frac{m^{(1)}(x^{(1)})^2}{2} + \frac{m^{(2)}(x^{(2)})^2}{2} - \frac{k}{2}(x^{(1)} - x^{(2)})^2$$

$$-\frac{\hbar}{i} \frac{\partial \psi}{\partial t} = H\psi; H = -\frac{\hbar^2}{2m^{(1)}} \frac{\partial^2}{\partial x^{(1)} \partial x^{(1)}} - \frac{\hbar^2}{2m^{(2)}} \frac{\partial^2}{\partial x^{(2)} \partial x^{(2)}} + \frac{k}{2}(x^{(1)} - x^{(2)})^2$$

Otro ejemplo: Supongamos  $n$  partículas ( $c/n$  en un espacio de 3 dimensiones) con masas  $m_n$ , cargas  $z_n$  que interactúan una con otra con un potencial coulomb. solamente.

$$H\psi = -\frac{\hbar^2}{i} \frac{\partial}{\partial t} \psi(R_1, R_2, \dots, t)$$

$$\text{donde } H = -\frac{\sum h^2}{2m_n} \nabla_n^2 - \sum_{n \neq m} \frac{e^2 z_n z_m}{|R_n - R_m|}$$

Eq. de Schrödinger.

$$-\frac{\partial^2}{\partial R_1^2} - \frac{\partial^2}{\partial R_2^2} - \frac{\partial^2}{\partial R_n^2}$$

En esa ecuación contenemos una gran cantidad de problemas de la naturaleza (con todos los fenómenos naturales comunes. Se excluyen la luz, las energías relativas, etc..)

En M. K. funciona el teorema del centro de gravedad.

Por ejemplo en el caso de 2 partículas

$$-\frac{\hbar}{i} \frac{\partial}{\partial t} \Psi(x_1, y_1, z_1, x_2, y_2, z_2, t) = H\Psi$$

$$H = -\frac{\hbar^2}{2m_1} \left( \frac{\partial^2}{\partial x_1^2} + \frac{\partial^2}{\partial y_1^2} + \frac{\partial^2}{\partial z_1^2} \right) - \frac{\hbar^2}{2m_2} \left( \frac{\partial^2}{\partial x_2^2} + \frac{\partial^2}{\partial y_2^2} + \frac{\partial^2}{\partial z_2^2} \right) + V(r_{12})$$

$$r_{12} = \sqrt{(x_1 - x_2)^2 + (y_1 - y_2)^2 + (z_1 - z_2)^2}$$

Introducimos:  $x = x_1 - x_2; y = y_1 - y_2; z = z_1 - z_2$

$$M X = m_1 x_1 + m_2 x_2 \text{ donde } M = m_1 + m_2, \text{ etc.. } r_{12} = r = \sqrt{x^2 + y^2 + z^2}$$

Para sustituir variables:

$$\frac{\partial}{\partial x_1} = \frac{\partial X}{\partial x_1} \frac{\partial}{\partial X} + \frac{\partial x}{\partial x_1} \frac{\partial}{\partial x} + \cancel{\frac{\partial y}{\partial x_1} \frac{\partial}{\partial y}} + \dots X = \frac{\partial}{\partial x} + \frac{m_1}{M} \frac{\partial}{\partial X}$$

$$y \frac{\partial}{\partial x_2} = -\frac{\partial}{\partial x} + \frac{m_2}{M} \frac{\partial}{\partial X}$$

$$H\Psi = \left\{ \frac{\hbar^2}{2} \left[ \left( \frac{1}{m_1} + \frac{1}{m_2} \right) \frac{\partial^2}{\partial X^2} - \frac{m_1 + m_2}{M^2} \frac{\partial^2}{\partial x^2} + \dots \right] + V(r) \right\} \Psi =$$

$$-\frac{\hbar^2}{i} \frac{\partial \Psi}{\partial t} (x_1, y_1, z_1, X, Y, Z, t) = \left\{ \frac{\hbar^2}{2M} \left( \frac{\partial^2}{\partial x^2} + \frac{\partial^2}{\partial y^2} + \frac{\partial^2}{\partial z^2} \right) - \frac{\hbar^2}{2M} \left( \frac{\partial^2}{\partial X^2} + \frac{\partial^2}{\partial Y^2} + \frac{\partial^2}{\partial Z^2} \right) + V(r) \right\} \Psi$$

$m = \text{masa reducida} = \frac{m_1 m_2}{m_1 + m_2}$  (para masas muy diferentes es apox. igual a la más liviana; si las dos son aproximadamente iguales entonces es apox. la masa de una de ellas dividida por 2). Buscaremos una solución especial.

Buscaremos  $\Psi(x_1, y_1, z_1, X, Y, Z, t) = \Psi(x_1, y_1, z_1) \Psi(X, Y, Z, t)$

siendo  $\Psi$  y  $\Psi$  soluciones respectivamente de:

$$-\frac{\hbar^2}{i} \frac{\partial}{\partial t} \Psi = -\frac{\hbar^2}{2M} \nabla_{x,y,z}^2 \Psi$$

$$-\frac{\hbar^2}{i} \frac{\partial}{\partial t} \Psi = -\frac{\hbar^2}{2m} \nabla_{X,Y,Z}^2 \Psi + V(r) \Psi$$

En nuestro caso el Hamil. tiene las variables completamente separadas.

La primera ecuación es la de una partícula libre y no refleja el movimiento libre del centro de gravedad. La otra no da el movimiento relativo de las partículas independientemente del movimiento del centro de gravedad. Si los 2 movim. tienen energías definidas el total tiene  $E = E_1 + E_2$ . La función general será la superposición de  $\Psi$  y  $\Psi$ .

Problema Si  $H = H_a + H_b$  donde  $H_a$  contiene solo variables  $x, y, H_b$ , variable  $x_b$  (independientes de  $x_a$ ), entonces  $-\frac{\hbar^2}{i} \frac{\partial}{\partial t} \Psi = H\Psi$ ;  $\Psi = \Psi_a \Psi_b$  donde

$$-\frac{\hbar^2}{i} \frac{\partial}{\partial t} \Psi_a = H_a \Psi_a \quad -\frac{\hbar^2}{i} \frac{\partial}{\partial t} \Psi_b = H_b \Psi_b; \text{ y si } H_a \text{ y } H_b \text{ son independientes}$$

$$\text{del tiempo y si } H_a \rightarrow E_{n,a} \text{ y } H_b \rightarrow E_{n,b}: E = E_{n,a} + E_{n,b}$$

Este es importante pues puede haber sistema con poca interacción o ninguna y entonces se aplica esto, siendo la solución el producto de las soluciones.

Un problema que puede ser separable clásicamente puede ser separable cuánticamente y además la misma mudanza de variables provocará la separación. Demostración:

La amplitud =  $\sum \sum \dots \sum e^{iS[x]}$ ; si por sustitución podemos separar  $x$  en  $x_a$  y  $x_b$ , esto es equivalente a:

$$S[x] = S_a[x_a(t)] + S_b[x_b(t)]$$

$$\sum_{x_a} \sum_{x_b} \dots \sum e^{i \frac{t}{\hbar} (S_a + S_b)} = \sum_{x_a} e^{i \frac{t}{\hbar} S_a} \sum_{x_b} e^{i \frac{t}{\hbar} S_b}, \text{ y decir } \Pi = k_a k_b$$

~~El~~ Problema. Determinar las funciones de onda y niveles de energía para el oscilador armónico de 3 dimensiones.

$$V(r) = \frac{1}{2} m \omega^2 r^2 \quad (\text{Es separable})$$

Problema. Supongamos que tenemos clásicamente  $N$  partículas con coordenadas  $x^{(i)}$  muy cerca del equilibrio. En el equilibrio el potencial es mínimo: quedan, cerca del equilibrio, los términos cuadráticos.

$$V = \sum_{ij} \lambda_{ij} x^{(i)} x^{(j)}, \quad T = \sum_i \frac{m_i}{2} \dot{x}_i^2$$

Existen coordenadas (llamadas normales) que son combinaciones lineales  $q_k = \sum_{ij} \frac{\lambda_{ij}}{\lambda_{kk}} x_j$  que tienen la propiedad que respecto a ellas el movimiento se reduce a un movimiento oscilatorio armónico.

Mostrar que si el sistema cuántico puede ser descrito por potenciales cuadráticos, los niveles de energía son simplemente  $\sum_k \hbar \omega_r (n_r + \frac{1}{2})$ ;  $n_r$  números enteros.

Este problema da la teoría de vibraciones de moléculas poliestrómicas.

$$\frac{1}{r} \frac{\partial^2}{\partial r^2} (r\psi) = \frac{1}{r^2} \frac{\partial}{\partial r} \left( r^2 \psi \right)$$

$$\text{P. } V(x_1, x_2) = V(r)$$

$$\frac{\hbar^2}{2m} \nabla^2 \psi - V(r) \psi = E \psi$$

La función  $\psi$  tiene que ser

esfericamente simétrica; hay que recordar que solamente

$\psi$  tiene propiedades físicas

Siremos ahora determinar los niveles de energía.

Resando a coord. esféricas

$$V = \frac{1}{r} \frac{\partial^2}{\partial r^2} (r\psi) + \frac{1}{r^2} \frac{\partial^2}{\partial \theta^2} \psi + \frac{1}{r^2 \sin \theta} \frac{\partial}{\partial \phi} \left( \sin \theta \frac{\partial \psi}{\partial \phi} \right)$$

Láctido  $\psi = R(r) Y_l(\theta, \phi)$

$$\frac{1}{r^2} \frac{\partial}{\partial r} r^2 \frac{\partial \psi}{\partial r} + \frac{1}{r^2 \sin^2 \theta} \frac{\partial^2 \psi}{\partial \phi^2} = -l(l+1) \psi$$

$$\psi = A(\theta) \tilde{\phi}(\phi)$$

$$\frac{\partial^2 \tilde{\phi}}{\partial \phi^2} = -l(l+1) \tilde{\phi} \quad \therefore \tilde{\phi} = e^{il\phi}$$

se debe ser entero pero el argumento según el cual ello debe ser falso contradice la sea ser una ecuación al aumentar  $\phi$  en  $2\pi$ , ya que de acuerdo con el argumento se contradice la hipótesis de que el argumento es igual a  $l$ . Por tanto, cuando  $m$  es entero las coras van nulas y convenientemente pueda deducirse a partir de la ecuación para  $\psi$ .

$$\frac{1}{r^2} \left( \frac{\partial}{\partial r} r^2 \text{sen}(\theta) \tilde{\phi}_l^{(m)} \right) + \frac{m^2}{r^2 \sin^2 \theta} \tilde{\phi}_l^{(m)} = -l(l+1) \tilde{\phi}_l^{(m)}$$

(sol. impl. no puede resolverse si  $m$  no es entero)

Las soluciones para  $\tilde{\phi}_l^{(m)}$  son

$$Y_{l,m}(\theta, \phi) = \left[ \frac{(2l+1)(l-m)!}{4\pi (l+m)!} \right]^{1/2} P_l^{(m)}(\cos \theta) e^{im\phi}$$

$$\text{donde } P_l^{(m)} = \sum_{n=0}^m \frac{(-1)^n}{n!} \frac{d^n}{dw^n} P_l(w) \quad \text{donde } w = \cos \theta$$

y  $P_l(w)$  son los polinomios de Legendre

$$\text{Entonces } \frac{1}{r_{12}} = \sum_{l=0}^{\infty} P_l(\cos \theta) \frac{r_1^{-l}}{r_2^{l+1}} \quad (r_2 > r_1) \quad \begin{array}{c} \frac{r_2}{r_1} \\ \downarrow \\ r_1 \end{array}$$

Notemos  $P_0 = 1$ ,  $P_1 = \cos \theta$ ;  $P_2 = \frac{1}{2} (3 \cos^2 \theta - 1)$

$$P_3 = \frac{3}{2} \cos^3 \theta - \frac{1}{2}, \quad P_4 = 3 \text{sen} \theta \cos \theta \quad P_5 = 3 \text{sen}^2 \theta$$

Notemos  $l(l+1) \frac{r_2^2}{r_1^2} = \text{cuadrado del mon. angular orbital total}$   
 $m$  = componente " " " " " " según  $z$ .

$m$  es un entero que va de  $-l$  a  $+l$ )  
Estas denominaciones tomanse las de la M. C. en el límite clásico.

$\Psi(R)$  satisface

$$\frac{t^2}{2m} \frac{1}{r^2} \frac{d^2}{dr^2} (\Psi(R)) + \left[ E - V(R) - \frac{t^2}{2m} \frac{l(l+1)}{r^2} \right] \Psi(R) = 0$$

→ tiene  $m \neq 0$  sol.

Para potenciales esfericamente simétricos  $V(r)$ ,  
 $\psi = R(r) Y(l, \ell)$ . Aparecen los números cuánticos  $\ell$  y  $m$ .

$\ell=0$       s-state       $\psi$  sym. esp.      orbital ang. mom = 0

$\ell=1$	p-state	$\psi$ : tres estados:
		$\cos \theta = m=0$
		$\frac{1}{\sqrt{2}} \sin \theta e^{i\phi}, m=+1$

$\frac{1}{\sqrt{2}} \sin \theta e^{-i\phi}, m=-1$

estados 3 veces degenerados

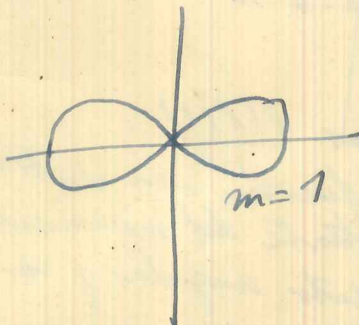
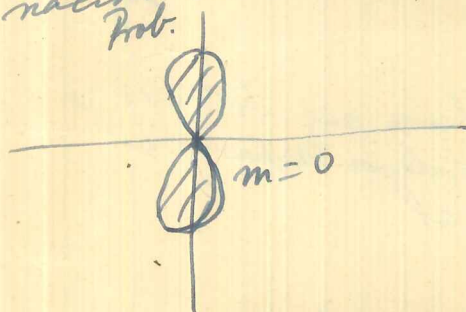
La ecuación radial es

$$-\frac{\hbar^2}{2m} \nabla^2 + \frac{d^2}{dr^2} (r R_{l,m}) + \{ (E - V(r)) - \frac{\hbar^2}{2m} \frac{l(l+1)}{r^2} \} R = 0$$

$E$  no depende de  $m$  sino sólo de  $\ell$ : es decir si se sabe cuánto vale  $\ell$  se sabe cuánto vale  $E$ , independientemente de  $m$ .

Si introducimos coordenadas cartesianas aquellas tres autofunciones son:  $\frac{1}{\sqrt{2}}, \frac{x+iy}{\sqrt{2}}, \frac{x-iy}{\sqrt{2}}$ , ~~que~~ parece que todo depende del eje  $z$  elegido pues — fijado el vector momento total — el valor de  $m$  dependerá del eje  $z$ . Supongamos que elegimos un nuevo eje  $z'$ . Para  $m=0$ , la autofunción sea  $\frac{z'}{r} = a \frac{x}{r} + b \frac{y}{r} + c \frac{z}{r}$ ; esto permite decir que esta autofunción puede expresarse como una combinación lineal de las otras anteriores. Con respecto a cualquier eje el estado es una combinación lineal de los tres originales.

Prob.



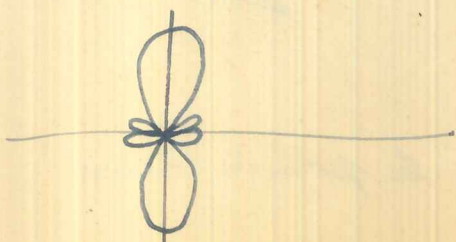
$\ell=2$  d-state      5 estados       $m = \begin{cases} +2 \\ +1 \\ 0 \\ -1 \\ -2 \end{cases}$

Para  $m=0$  la autof.  $\therefore \frac{3}{2} \omega^2 r^2 - \frac{J^2}{r^2}$

Problema: las autof. son

$$\frac{1}{r^2} \text{ por: } x^2; y^2; z^2; x^2 - y^2; x^2 - z^2$$

$\ell=3, 4, 5, \dots$        $\frac{1}{r^2}, \frac{g}{r}, \frac{h}{r}, \frac{i}{r}, \frac{j}{r}$  ... estado      Hay  $2\ell+1$  estado pues  $m$  varía de  $-\ell$  a  $\ell$ .



## Propiedades generales

1)  $\Psi(x, y, z)$ ; Podemos:  $x \rightarrow -x$  :  $\Psi(-x, -y, -z)$  (inversión).

$$y \rightarrow -y$$

$$z \rightarrow -z$$

Lí d'Hamilt. no muda cambiando por inversión:

$$H(-x, -y, -z) = H(x, y, z); \Psi(-x, -y, -z) = +1 \Psi(x, y, z) \rightarrow \begin{array}{l} \text{Paridad simétrica} \\ \delta -1 \Psi(x, y, z) \end{array}$$

2) Para una partícula: si  $l$  es par, la paridad es par.

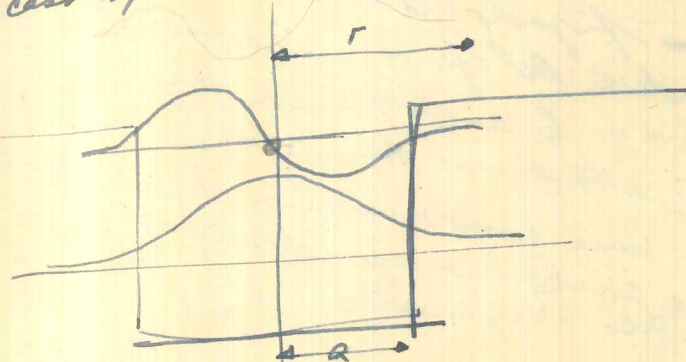
si  $l$  es impar, " " " impar

Si hay muchas partículas puede ser que esto no se cumpla.

$$3) \left[ -\frac{\hbar^2}{2m} \frac{d^2}{dr^2} (rR) + \left( E - V(r) - \frac{\hbar^2}{2m} \frac{l(l+1)}{r^2} \right) R = 0 \right]$$

Es la misma ec. que en el caso unidimensional salvo el término  $\frac{l(l+1)}{r^2}$  y que  $n=rR$  debe ser 0 para  $r=0$ , para que  $R$  sea finita en  $r=0$ .

En el caso sencillo:  $V=V_0$  para  $r < a$ ;  $V=0$  para  $r > a$



Tal vez no existe  
estado estacionario,  
o decir solución.

4) Explicación del término  $\frac{l(l+1)}{r^2}$ :

Clásicamente si las fuerzas son centradas el mom. ang. total  $M$  es una constante del movimiento. Podemos separar el movimiento angular y en radial.

~~La fuerza~~

$$F = \frac{m V_L^2}{r} = \frac{M^2}{mr^3} \quad \text{pues } M = m V_L r$$

La fuerza centrífuga  
que deriva esa fuerza es  $V = \frac{M^2}{2mr^2}$ ; luego

$$M^2 = \hbar^2 l(l+1)$$

5) Si  $V(r)$  no crece tanto como  $\frac{1}{r^2}$  para  $r \rightarrow \infty$  o si  $r^2 V(r) \rightarrow 0$  para  $r \rightarrow 0$ , entonces podemos determinar la función de onda muy cerca del origen.

$$\frac{d^2(rR)}{dr^2} + \frac{l(l+1)}{r^2} (rR) = 0 \quad \text{esta ecuación admite: } R = r^{-l} e^{-\frac{1}{2} \int u^{-l} du}$$

$$R = r^{-l} \quad \text{importante}$$

Si  $l=0$  (auto. esferica simétrica) existe la posibilidad de encontrar la partícula en el origen.

$$s\text{-state } l=0 \quad \psi \rightarrow \text{cte} \quad r \rightarrow 0$$

$$p. " \quad l=1 \quad \psi \rightarrow r \quad r \rightarrow 0$$

$$d\text{-state } l=2 \quad \psi \rightarrow r^2 \quad r \rightarrow 0$$

Ler Schiff: (Ignac - Well)

Problema: resolver ~~resolver~~ las ec. de Schr. para el oscilador armón. en coordenadas esféricas y hacer una compar. con los autovals que resultan en cartesianas.

Propiedad 6) Para un autovalor  $E_{n,l}$ ;  $M_{n,l} = r R_{n,l}$ .

$$\int M_{n,l}^* M_{n,l} dr = 5_n n; \quad \int R_{n,l} R_{n,l} r^2 dr = 5_n n$$

$\Rightarrow$  por lo tanto aparece el  $r^2$

$$\int \psi^* \psi r^2 dr d\Omega (1)$$

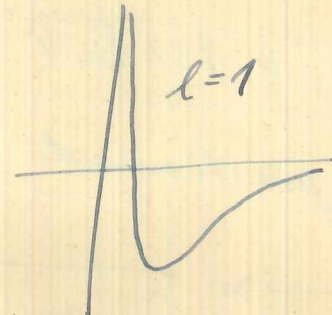
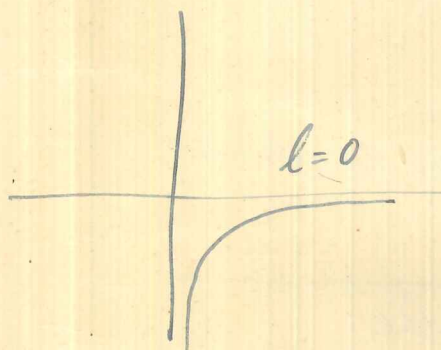
$$= \int R \psi^* R \psi r^2 dr d\Omega (\cos \theta) = \int R^2 r^2 dr \int |\psi|^2 d\Omega \cos \theta$$

$n$ : número de nodos de la función radial.

Caso especial

Atomo Hidrógeno:

$$V = -\frac{Ze^2}{r}; \quad -\frac{\hbar^2}{2m} \frac{d^2}{dr^2} U + \left( E - \frac{Ze^2}{r} - \frac{\hbar^2}{2m} \frac{l(l+1)}{r^2} \right) U = 0$$



$$E_{n,l} = -\frac{Z^2 e^2}{2a_0 n^2}$$

$$a_0 = \frac{\hbar^2}{me^2} = \text{Bohr radius} = 0.529 \text{ Å}$$

La energía del primer nivel del Hidrógeno:

$$\frac{e^2}{2a_0} = \text{Rydberg } 13.6 \text{ voltos} \quad ; \quad E_{n,l} \text{ no depende de } l.$$

¡Lo siento accidente! : solo se ve en el caso  $V = \frac{1}{r}$ .

$$R_{nl} = - \left\{ \frac{(2z)^3 (n-l-1)!}{(n!)^2 (n+l)!} \right\}^{\frac{1}{2}} e^{-\frac{z}{r}} \rho^l L_{n+l}^{2l+1} (\rho)$$

$$\rho = \frac{2ze}{n a_0}; \quad L_n^m(x) = \frac{d^m}{dx^m} L_n(x)$$

$$\frac{1}{1-t} e^{-\frac{zt}{1-t}} = \sum_{n=0}^{\infty} \frac{1}{n!} L_n(x) t^n$$

lo generativo.

cuanto mayor es el momento angular, la partícula tiende a quedar más lejos del origen.

Problema: si el muelle no es puntiforme puede afectar al estado s pero casi nada el p.j.

$$L_n(x) = (D-1)^n x^n; D \text{ es derivada respecto de } x.$$

$$L_2(x) = (D-1)^2 x^2 = (D^2 - 2D + 1)x^2 = 2 - 4x + x^2$$

### Observaciones sobre el Cálculo de Cts. Atómicas

Conviene usar voltos y cm.

$$1) \frac{e^2}{hc} = \frac{1}{137.035} \quad \begin{array}{l} \text{no tiene dimensiones} \\ (\text{todavía no se sabe bien porqué}) \end{array}$$

$$2) R_0 = \frac{h^2}{mc^2} = 0.52917 \text{ Å} \sim 0.53 \text{ Å} \quad \rightarrow \text{radio de Bohr.}$$

Multiplicando ambos da se obtiene:

$$3) \frac{h}{mc} = 3.8675 \times 10^{-10} \text{ cm}$$

+ Compton wave length para el electrón.  
Multiplicando 1/3 se obtiene el radio clásico del electrón.

$$4) \Gamma = \frac{e^2}{mc^2} = 2.82 \times 10^{-13} \text{ cm} \quad r_d = 2\lambda_{\text{Compton}} = \frac{e^2}{mc^2}$$

$$5) \text{Energía: } \frac{e^2}{2R_0} = \frac{mc^4}{h^2} = 2 \text{ Ryd} = 27,2 \text{ voltos}$$

$$6) \frac{e^2}{2R_0} = \text{Rydberg} = 13,6 \text{ voltos.}$$

$$6) \text{Multiplic. 5 por } (137)^2 = \frac{h^2 c^2}{e^4} \text{ obtenemos:}$$

$$7) M = 1.836 \text{ m} ; Mc^2 = 0.931 \text{ BeV}$$

Con esto puede hacerse prácticamente todo los cálculos atómicos.

$$\Psi_{1S} = \frac{1}{\sqrt{\pi}} \left( \frac{Z}{a_0} \right)^{1/2} e^{-\frac{r}{a_0}}$$

$$(a_0 = \text{radio de Bohr})$$

$$\text{para el hidrógeno: } V = \frac{1}{\sqrt{\pi} a_0^3} r^{-1/a_0}$$

en este caso la probab. de hallar el electrón en el origen es nula. Para tener una idea intuitiva de la velocidad del electrón en el átomo consideremos que si la distanciación es  $\frac{a_0}{2}$  los momentos son del orden de magnitud  $\frac{h}{a_0}$   $\therefore v = \frac{h}{a_0 m} = \frac{Zc}{a_0 m}$

$$\text{Para el H } \frac{h^2}{c} \approx 10^{-4} \text{ y el error de considerar } E = -\frac{mc^2}{137} \text{ es pequeño}$$

que equivale a despreciar el  $\frac{v^2}{c^2}$  en  $\frac{1}{1 + \frac{v^2}{c^2}}$ . Para el uranio no podrá decirse lo mismo, pero podemos usar estos métodos para los electrones externos.